脈動流が舶用炉の熱水力特性に及ぼす影響の研究

裕幸*、澤田 健一*、小林 道幸* 村田

Study on Effects of Pulsating Flow upon Thermal-Hydraulic Characteristics of a Marine Reactor

by

Hiroyuki MURATA, Ken-ichi SAWADA and Michiyuki KOBAYASHI

Abstract

In order to investigate effects of the pulsating flow on thermal-hydraulic behaviors in passive safety marine reactors, the following studies were conducted: (1)a series of flow visualization experiments of pulsating flow obstructed by an array of square or circular cylinders; (2)numerical simulations of pulsating flow obstructed by an array of square cylinders; (3) arrangement of natural convection heat transfer data in the core of a model marine reactor during rolling motion.

In the flow visualization experiments, PTV (Particle Tracking Velocimetry) was applied to investigate the flow qualitatively. In the steady flow obstructed by an array of square rods, Karman vortices shed regularly from each rod, when the pitch ranges from 6.67 to 13.3. Similar behavior was observed in the steady flow obstructed by an array of circular cylinders, when $3.33 \le L/d_c \le 13.0$. When the pulsating amplitude is small $(Q_2/Q_1pprox 0.15)$, any noticeable differences between the pulsating flow obstructed with an array of square/circular cylinders and the steady flow were not observed. When the pulsation amplitude is relatively large $(Q_2/Q_1 \ge 0.43)$ and pulsation period is long compared with the shedding period ($St^* \approx 0.08$), flow acceleration stabilizes wakes behind the cylinder and the flow deceleration destabilizes it. When the pulsating period becomes shorter with the same pulsation amplitude, the flow pulsation controls the generation and breakdown of the Karman vortices.

A numerical simulation code was developed by applying the periodic boundary condition along the streamwise direction, and calculated results were compared with the experimental results.

^{*}原子力技術部

原稿受付 平成12年9月22日

審查済 平成13年4月 2日

Calculated results showed a little dependency on the range of the calculation domain when Re=1000 and L/d=6.67, 10.0. In spite of that, the agreement between the calculated results and the experimental results was satisfactory and the simulation code was demonstrated to be valid for computing the pulsating flow.

Heat transfer coefficients in the core during the rolling motion were obtained from the natural circulation tests data with a simulated marine reactor mounted on a rolling bed. Heat transfer with an upright attitude is well correlated with the Rayleigh number. Heat transfer in the core is not affected by the inclination angle within the range of the present experiment ($\therefore |\alpha| \le 22.5 \,\mathrm{deg.}$). Heat transfer in the core is enhanced by the rolling motion and is classified into three regimes: namely (1) $0.05 < Ri_R \le 0.3$ where heat transfer is dominated by the inertial force due to the rolling motion; (2) $0.3 < Ri_R \le 2$ where heat transfer is affected by the combined effect of inertial force and natural convection; and (3) $Ri_R > 2$ where heat transfer is affected only by natural convection.

目 次

記号表・・・・・・・・・2
1. はじめに・・・・・・・3
2. 脈動流の可視化実験・・・・・・・・・・・・3
2. 1. 実験装置及び実験方法・・・・・・3
2. 2. 実験結果と考察・・・・・・・・・・・・・・・・・
2.2.1.角柱列を挿入した脈動流
の場合・・・・・・・・・・・・6
2.2.2.円柱列を挿入した脈動流
の場合・・・・・・・・・・9
2. 3. 2章のまとめ・・・・・・・・・・・12
3. 脈動流の数値解析・・・・・・・・・・12
3.1.解析手法・・・・・・・12
3.2.解析結果と考察・・・・・・・・・・・13
3.3.3章のまとめ・・・・・・・・・・・・16
4. 横揺れを伴う舶用炉炉心部の熱伝達特性・・・・17
4.1.実験装置及び実験手法・・・・・・・・・・・17
4.2.実験結果と考察・・・・・・・・・・・・・・・・・17
4. 3. 4章のまとめ・・・・・・・・・・・20
5. あとがき・・・・・・・20
参考文献 · · · · · · · 20

記号表

C_D: 角柱に作用する抗力係数 C₁: 角柱に作用する揚力係数

d:正方角柱の一辺の長さ (=1.5[cm])

d_c:円柱の外径 (=1.54[cm])

d_n: 炉心部流路の等価水力直径 (=1.403[cm]) G:電磁流量計の時定数設定回路による減衰率 Gr^* : 修正グラスホフ数 ($\equiv d_h^4 g \beta q / \lambda v^2$)

H:可視化実験装置の測定部の高さ (= 5 [cm])

hm: 炉心部の平均熱伝達率

 $(\equiv q/(T_{w1}-T_b) [W/m^2K])$

L:正方角柱(または円柱)の配置間隔[cm] N:計算領域中に含まれる単位周期領域の数

NI:数値解析における主流方向の格子点数

NJ:数値解析における垂直方向の格子点数 Nucmb:複合対流のヌセルト数(式(13)参照)

Nufl:強制対流のヌセルト数 (式(13)参照)

 Nu_m : 炉心部平均ヌセルト数 ($\equiv h_m d_h/\lambda$)

Nurear: 角柱背面の局所ヌセルト数

Nuft: 角柱前面の局所ヌセルト数

p: 圧力[Pa]

P/dc: 炉心部管群の配列ピッチ

Pr:プラントル数(= ν/κ)

P1:擬似圧力(式(8)参照)

Q:測定部流量[m³/h]

Q₁:定常流量[m³/h]

Q2:脈動振幅[m3/h]

q:炉心部ヒーター表面の熱流東[W/m²]

R: 横揺れの中心軸と炉心中央部との距離

(=1.815[m])

Ra: レイリー数(=Gr*/Pr)

Re:流路レイノルズ数 (**=** 2*HU*/*v*)

 $\overline{\mathrm{Re}}$:流路レイノルズ数の時間平均値 ($\equiv 2H\overline{U}/v$)

Rea: 角柱寸法を代表長さとするレイノルズ数

 $\mathrm{Re_h}:$ 水力直径基準のレイノルズ数(式(14)参照) $(\equiv u_{\mathit{CORE}} d_h / v)$

 $Re_R:$ 動揺のレイノルズ数 ($\equiv 4Rd_h\Theta/\tau v$)

 $Ri_R:$ 動揺のリチャードソン数 ($\equiv Gr */Re_h^2$)

St: ストローハル数 ($\equiv d/\tau_0 \overline{U}$)

St_m:ストローハル数の時間平均値

 $\mathrm{St}^*: 脈動ストローハル数 (\equiv d/\tau\overline{U})$

t:時間[sec]

T_b: 炉心部における一次冷却水のバルク温度[K]

t_c:電磁流量計の時定数設定回路の時間定数 (=0.35[sec])

Tw1: 炉心部中央部におけるヒーター表面温度[K]

U:測定部の断面平均流速[m/sec]

 \overline{U} :断面平均流速の時間平均値[m/sec]

u:主流方向の流速[m/sec]

 \vec{u} :速度ベクトル

u_{CORE}: 炉心部における軸方向の一次水流速[m/sec]

v:垂直方向の流速[m/sec]

W:可視化実験装置の測定部の流路幅 (=40[cm])

x: 主流方向距離[m]

v:垂直方向距離[m]

α:傾斜角[deg.]

 $-\Delta p/\Delta x$:測定部の圧力勾配の測定値[Pa/m]

 $\Delta P_{C}/L_{C}$:圧力勾配パラメータ (式(7)参照) [Pa/m]

∆x:脈動流発生装置のピストン変位[m]

 $\Delta \phi$: 隣り合う角柱のカルマン渦放出の位相差[rad]

Θ:横揺れ振幅[rad]

♦:脈動流の位相角[deg.]

 ϕ_D :電磁流量計の時定数設定回路による位相遅れ [rad]

 κ :温度伝導率[m^2/sec]

λ:熱伝導率[W/mK]

V:動粘性係数[m²/sec]

τ:脈動周期[sec]

τ_D:電磁流量計の時定数 (=1.1[sec])

 au_0 :角柱からのカルマン渦放出周期[sec]

 ω :脈動の角速度 (=2 π/τ) [rad/sec]

1. はじめに

舶用炉が一次冷却水の自然循環により炉心冷却を行う場合(非常崩壊熱除去モード)、横揺れ等の船体運動を受けると一次冷却水流れが脈動流となって時間的に変動する¹⁾ことが知られている。受動安全性の概念を取り入れた次世代型舶用炉²⁾では、事故時の炉心冷却を静的機器と一次冷却水の自然循環だけで行うことが要求されるため、舶用炉の熱水力特性に及ぼす脈動流の影響を明らかにすることは次世代型舶用炉の安全性評価にとって重要である。

「脈動流が舶用炉の熱水力特性に及ぼす影響の研究」は、次世代型舶用炉の蒸気発生器あるいは炉心部のような複雑流路における脈動流の熱水力挙動を明らかにすることを目的として、平成7年度より5年間実施された。本報ではこの研究で得られた、角及び円柱列を挿入した脈動流の可視化実験結果、角柱列を挿入した脈動流の数値解析結果、及び舶用炉の横揺れ時自然循環における炉心部熱伝達特性について報告する。

2. 脈動流の可視化実験

2.1.実験装置及び実験方法

図2-1に本実験のために製作した脈動流実験装置の概略を示す。本装置は、可変ピストン方式^{3)~5)}の脈動流発生装置を整流部上流端に接続した回流水槽である。脈動流発生装置は①整流部上流端に接続されたシリンダー、②シリンダー内部にはめ込まれたピストン、③スコッチ・ヨーク機構及び④駆動モーターから構成され、駆動モーターの回転がスコッチ・ヨーク機構によりピストンの往復運動に変換される構造となっている。実験装置本体には貯水タンクから一定流量:Q1が流入するが、脈動流発生装置からの流入流量はシリンダー容積の変化に応じて増減する。その結果、測定部の流量:Qは次式に示すような脈動流となる。

$$Q = Q_1 + Q_2 \sin \omega t \tag{1}$$

脈動振幅: Q_2 及び脈動周期: $\tau = 2\pi/\omega$ はピストンのストローク及び駆動モーターの回転数を変化させる

ことによって、 $Q_2=0\sim1.5[m^3/h]$, $\tau=2.5\sim15[sec]$ の範囲で任意に設定することが出来る。

整流部に流入した流れはいったん減速され、内部 の多孔板及び整流用金網によって流れの不均一や乱 れを減衰させた後、絞り管(絞り比:15)を通って 測定部に入る。測定部の概略を図2-2に示す。測 定部はスパン方向の2次元性が確保されるよう断面 寸法を高さ:H=5 [cm],幅:W=40[cm]とし、流れが 発達するのに十分な長さ (= 4 [m]) をとっている。 なお、測定部は可視化実験のため、両側壁及び上壁 が透明壁となっており、測定部全体が暗幕で覆われ ている。測定部には、アクリル製の正方角柱(d= 15[mm]) または円柱 (d_c=15.4[mm]) が流路高 さの中心面上に流れに直行して配置されている。角 柱は、4種類の配列ピッチ:L (=5,10,15,20[cm]) で測定部全体にわたって配置されるが、いずれの配 列ピッチでも最上流の角柱 (円柱) 位置は測定部入 口から 5 [cm]下流に位置する。測定部を出た水は、 拡大管、下流管を通って下流部タンクへ入り、そこ からポンプで貯水タンクに戻る。なお、絞り管・拡 大管の形状、多孔板・整流用金網の寸法・配置等に 関しては、各種文献^{6)~16)}を調査して流体力学的 な検討を行い、その値を決定した。

本実験では懸濁法17)によって流れを可視化した。 具体的には、実験装置の循環水に界面活性剤を添加 したナイロン 12 粒子 (商品名:オルガソール, 粒 径:30 ミクロン, 比重:1.02) をごく微量混入し て懸濁させ、測定部の上壁からストロボ・スリット 光を照射して流れ場の観察を行った。さらに、可視 化した流れ場を定量的に把握するため、CCDカメ ラで撮影した可視化画像を3時刻パターン・マッチ ング法を用いた P T V (Particle Tracking Velocimetry) によってベクトル線図等を求めた。 ナイロン粒子は十分小さく、流れの追従性に問題は ない (静止した水中におけるナイロン粒子の沈降速 度の実測値は 10^{-3} [cm/sec] のオーダーであり、流 れ場の流速 (~ 1 [cm/sec]) に比べて無視できるほ ど小さい)。なお、流れが十分発達した状態で流れ 場を観察するため、測定はいずれの場合でも測定部 入口から 2.2~2.85[m]下流で行った。また、測定 部における流量・温度は、入口・出口配管中に設置 した電磁流量計及び白金線温度計により測定した。 さらに、測定部における圧力勾配を測定するため測 定部底面の数カ所に静圧孔を設け、歪みゲージ式差 圧計により差圧測定を行った。

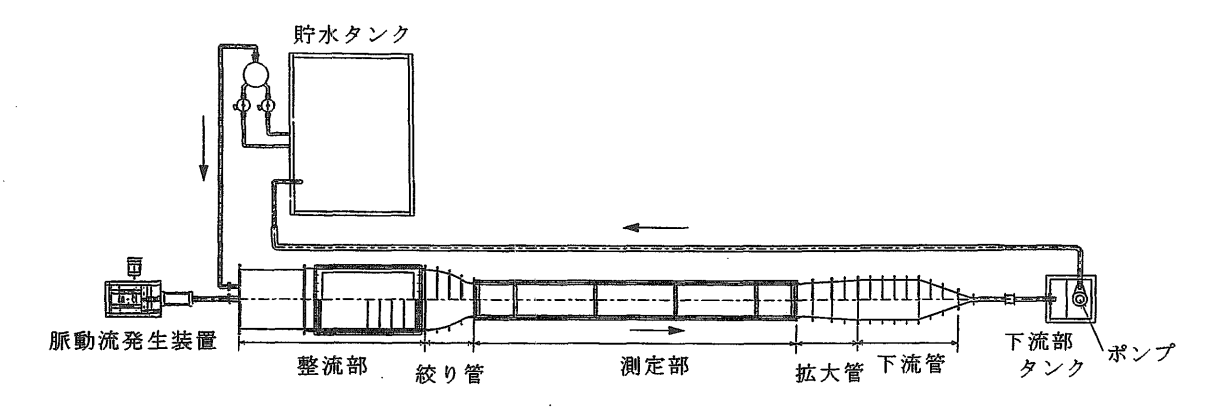


図2-1 脈動流実験装置の概略

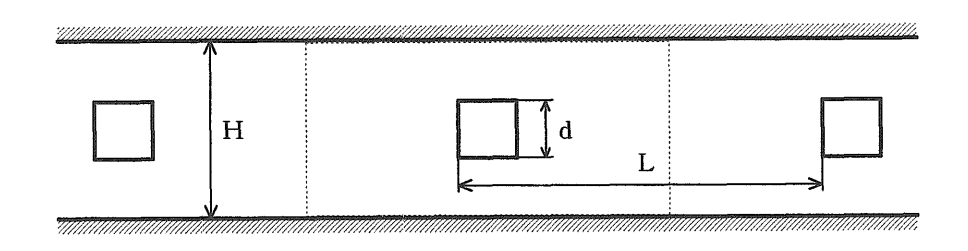


図2-2 測定部の概略

表 2 - 1 脈動流可視化実験の実験条件

	実 験 条 件
流路レイノルズ数:Re	1000, 2000
脈動振幅:Q2/Q1	0, 0.1, 0.3, 0.5, 0.75
脈動周期:τ[sec]	2.5, 5, 7.5, 10, 15
角柱のピッチ:L/d	3.33, 6.67, 10.0, 13.3
円柱のピッチ:L/dc	3.25, 6.49, 13.0

本実験では、複雑流路における脈動流の流動特性 を明らかにするため、①流路レイノルズ数、②脈動 振幅、③脈動周期、④角柱/円柱の配列ピッチを数 段階に変化させて測定を行った。実験条件を表2-1に示す。但し、脈動振幅に関しては、電磁流量計 の時定数設定回路に対する補正を測定後に行った関 係上、実際の脈動振幅は脈動周期が短い場合ほど公 称値 (表中の設定値) よりも大きくなっている。す なわち、本実験に用いた電磁流量計の時定数設定回 路では時定数: τ_D を設定 (本実験では設定範囲の 最小値である1.1秒) することにより、入出力波形 相互には次式のような振幅の減衰・位相遅れが生じ る。

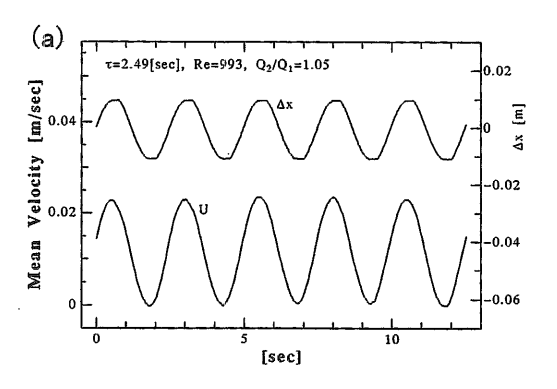
$$G = \frac{1}{\sqrt{\tau_D^2 \omega^2 + 1}} \tag{2}$$

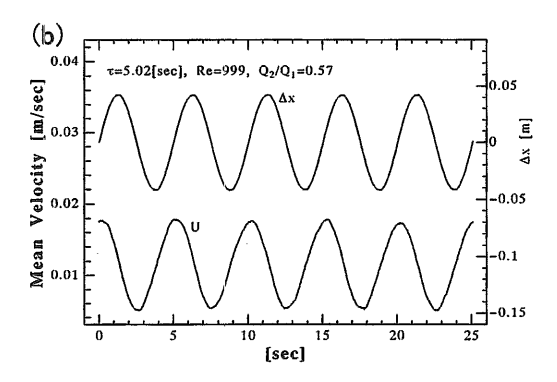
$$\phi_D = -t_C \omega - \tan^{-1} \tau_D \omega \tag{3}$$

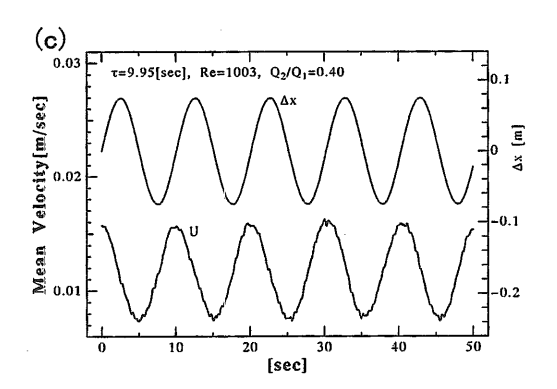
上式は電磁流量計メーカーによる計測値であり、 t。は時定数設定回路により定まる定数 (=サンプ リング周期、1次2次間のデータ転送等の要因で生 じる計測値を出力するまでの遅れ。0.35 秒)であ る。本実験では上式を用いて電磁流量計出力におけ る振幅の減衰・位相遅れを補正した。なお、脈動周 期は著者らが以前行った舶用炉の横揺れ自然循環実 験1)における動揺周期とほぼ同じとした。自然循 環に及ぼす動揺効果に対する検討から、前記実験は 実船における動揺状態とほぼ一致していることが分 かっている。また、本実験の脈動周期の範囲は脈動 ストローハル: $St^* \equiv d/\tau \overline{U}$ で表すと、 $0.045 \le St^*$

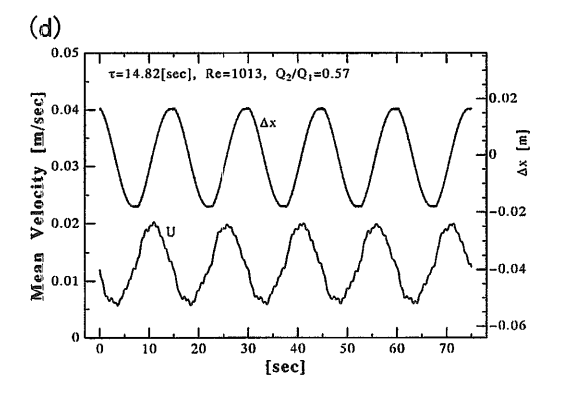
≤0.58となる。

図2-3に脈動流発生装置により発生させた脈動 流 (=測定部の断面平均流速:U) とピストン変位: ΔXの時間変化を示す。ピストン変位は中性点をゼ









脈動流波形とピストン変位の関係 図2-3

ロとして、測定部に押し込む方向を正に、測定部から引き込む方向を負にとっている。図より、 τ =2.49, 5.02[sec]の場合には脈動流量がほぼ正弦波状に変動していることが分かる。しかし、 τ =9.95[sec]の場合には、ピストンの変位波形がほぼ正弦波状であるのに対し、脈動波形には高調波成分が含まれていることが分かる。脈動流発生装置では,脈動周期が長くなってピストンの移動速度が低下すると、機械的な原因によってピストンの移動は次第に滑らかではなくなる。可変ピストン方式ではピストン変位の時間微分が流量変動となるため、ピストン移動が滑らかでなくなると、その微分信号である流量波形には高調波成分が含まれるようになるものと考えられる。こうした傾向は τ =14.82[sec]のときに一層顕著となる。

ピストン変位と流量変動の位相は脈動周期によって若干変化しており、 $\tau=2.49$ [sec] の場合は他の場合に比べて流量変動の位相が遅れていることが分かる。出口側配管に設置した電磁流量計の出力から、測定部の脈動流は脈動流発生装置の停止後直ちにに常流となるのではなく、振幅が次第に減衰しながら定常流に推移することが明らかとなった。また、実験装置内部に滞留する空気が装置全体に占める気を装置内部であり、脈動流の発生時にこれらの気を対じまり、脈動流の発生時にこれらいら、系内の残存気泡の体積変化だけでは、ピストンと脈動流量の位相ズレは理解できない。

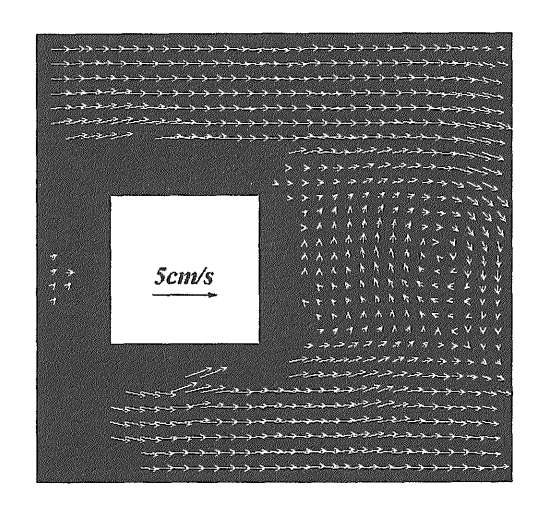
以上の点から、本実験装置における脈動流の発生は一種の水撃現象¹⁸⁾と考えられる。すなわち、本実験のように速度が急変して系内圧力が大きく変化する場合には、流路壁面(本装置の大部分はアクリル製)の弾性変形、及び水の密度変化は無視できなくなる。本装置では、脈動流発生装置のピストン変位に伴って発生する圧力波が系内を伝播し、測定部出口端で生じる反射波とが干渉して一種の定在波のような状態になっていると考えられる。ただ、図に示すように脈動波形のピーク値の変動は僅かである。

2. 2. 実験結果と考察

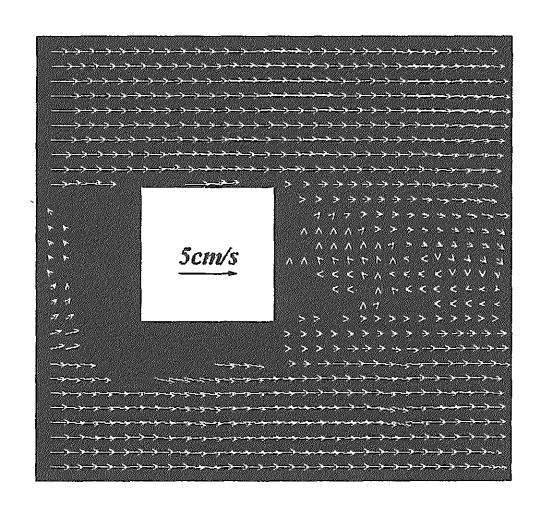
本研究では角柱または円柱を周期的に配置した脈動流について可視化実験を行ったが、角柱列を挿入した場合 ^{19)~21)}と円柱列を挿入した場合とでは流れ場の特徴が若干異なること、円柱列を挿入した場合については、より詳細な流れ場の検討(後述)を行っていることから、各々の実験結果について報告することにする。

2. 2. 1. 角柱列を挿入した脈動流の場合

脈動流の検討に先立って脈動のない定常流の観察 を行った結果、角柱列が周期的に挿入された定常流



(a) L/d=6.67



(b) L/d=3.33

図2-4 定常流のベクトル線図

(∴Re=1,000)では、L/d=6.67,10.0,13.3の場合には各々の角柱からカルマン渦がほぼ一定の周期で角柱の上下から交互に放出されることが明らかとなった。図2-4(a)にL/d=6.67, Re=1000の場合の実験結果をベクトル線図として示す。この図は1/15[sec]間隔の連続した6時刻の可視化画像からベクトル線図を求め、メッシュ補間して表示したものである。図は、角柱(図中、白ヌキの正方形ではのである。図は、角柱(図中、白ヌキの正方形で流に流れ去った後に、角柱下側から角柱の背面にに回りの渦が次第に発達する様子を示している。一方、角柱間距離が最も短いL/d=3.33の場合には、下流の角柱によって流れが阻止されるため、角柱背後に回り込んだ流れの一部が下流の角柱前面

によって上流方向に逆流する結果、角柱背後に弱い 循環領域を形成する。主流から角柱背後に回り込む 流れは定常的には発生せず非常に不規則で (主流の 大半は角柱背後に回り込むことなく下流に流れ去 る)、L/d=6.67~13.3 の場合のようなカルマン渦 が周期的に放出される流れとは明らかに性格を異に している。図2-4(b)から、L/d=3.33 の場合には 角柱後流域に流れが認められるものの、流速が非常 に小さい様子が分かる。

図2-5に定常流におけるストローハル 数: $d/\tau_0 U$ と配列ピッチとの関係を示す。但し、

代表速度: U は断面平均流速の時間平均値である。 ストローハル数は、ビデオに収録した可視化画像か らカルマン渦の放出間隔: τ_0 をストップウォッチで 計測して求めた。図より、Re=1,000 の場合、6.67 ≦L/d≦13.3 のストローハル数は 0.31~0.33 とな っていることが分かる。本実験結果は一様流中に挿 入された角柱のストローハル数²²⁾ (=0.12) と比 較するとかなり大きい。しかし、本実験と同一レイ ノルズ数のチャンネル流に、同一閉そく比(:: d/H=0.3) の単一角柱を挿入した体系に対して数値 解析、可視化実験を実施した鈴木ら23)~26)は、 ストローハル数が約 0.32 となること、角柱から放 出されたカルマン渦の挙動が一様流中に挿入された 角柱後流の場合とは異なることを報告している。本 実験で得られたストローハル数が、彼らの結果とほ ぼ同じ値を示していることから、本実験結果は妥当 であると考えられる。なお、チャンネル流中に挿入 された単一角柱周りの流れに注目した、鈴木らや

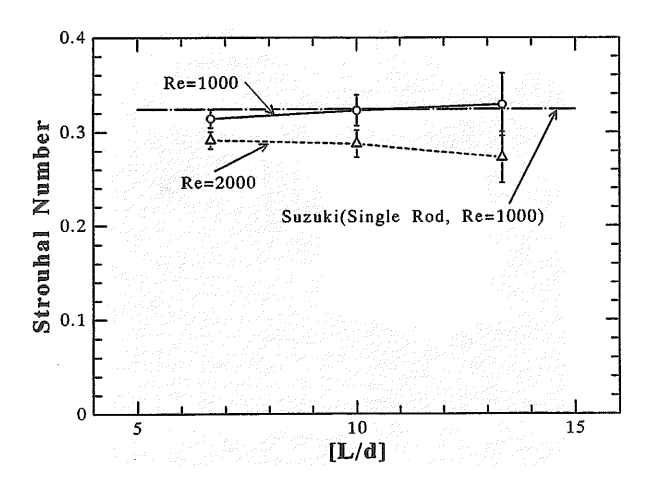


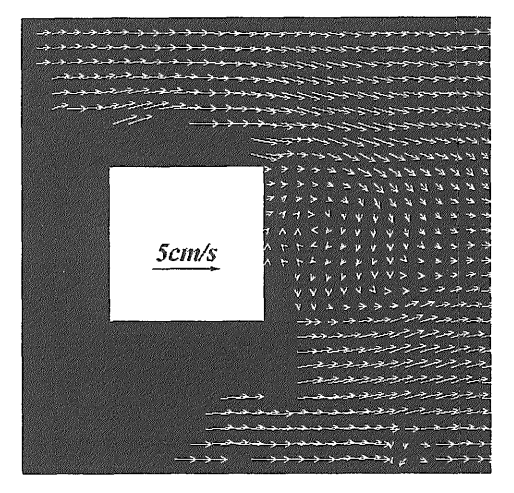
図2-5定常流のストローハル数と 角柱の配列ピッチの関係

Davis ら²⁷⁾の研究結果によれば、ストローハル数 は角柱の閉そく比によって変化することが分かる。 これは、角柱周りの主流方向速度分布がチャンネル 壁面による影響を受けることによるものと考えられ る。鈴木らによれば、閉そく比が 0.05 以上の場合 には、角柱周りの流れに及ぼす閉塞比の影響は無視 できないとのことである。

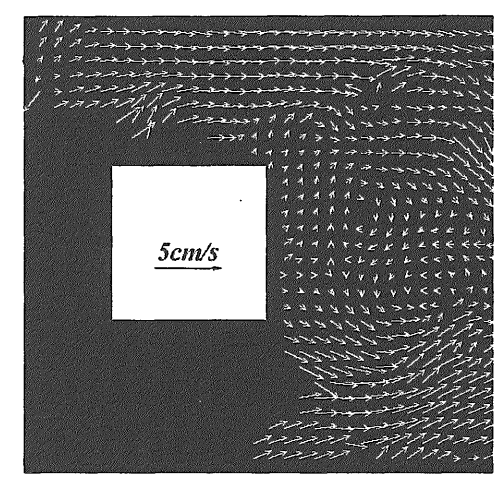
また、各々のピッチにおける Re=2,000 の場合の ストローハル数はデータの分散 (L/d=6.67 で± 3%,L/d=10.0 で±5%,L/d=13.3 で±10%程 度) を考慮しても Re=1,000 の場合の値よりも小さ く、レイノルズ数の増大に伴ってストローハル数が 減少していることが分かる。本研究のような角柱列 が挿入された系では、各々の角柱で生ずる角柱後流 が十分減衰しないまま下流の角柱に達するため、上 流側角柱の後流により誘起される角柱前面での速度 変動がカルマン渦の放出に影響を及ぼす。収録した 可視化画像から、Re=2,000 の場合には角柱後流に おける速度変動が Re=1,000 のときに比べて増大し ている様子が観察され、この速度変動の増大がスト ローハル数に影響を及ぼしたと考えられる。但し、 角柱と壁面の間の流れをよく観察すると、注目した ナイロン粒子群が相互の位置関係を変えることなく (回転運動等もなく) 滑らかに上流から下流へと流 れていくことが分かることから、Re=2,000 の場合 でも流れは層流域に留まっていると考えられる。

西村ら²⁸⁾は、脈動周期がカルマン渦放出周期よ りも1桁大きい、比較的周期の長い脈動流中に置か れた単一角柱 $(d/H=0.1, Re=1,000, 0.1 \leq Q_2/Q_1$ ≦0.75) の数値解析を行い、脈動振幅がかなり大き い場合、角柱からの渦放出様式は脈動接近流のレイ ノルズ数変化に対して準静的に変化せず、流れの加 速、減速は角柱近傍の流れの安定化、不安定化に影 響すること、脈動流の加速時には角柱背後の流れの y方向動揺が小さくなって角柱後流を安定化させ、 逆に減速時にはv方向動揺が大きくなって角柱後流 を不安定化させることを報告している。

本実験の場合、脈動周期はカルマン渦放出周期の 0.6~6倍程度と、西村らの場合と比較すると脈動 周期が相対的に短くなっている。そこで、本稿では、 脈動周期がカルマン渦放出周期に比較してかなり長 い場合と、カルマン渦放出周期に比べて短い場合と に注目し、脈動流の及ぼす効果を検討することにす る。なお、PTV画像の収録は、全てのケースにつ いてピストンが上死点及び下死点に達した瞬間から 収録を開始しているため、PTV画像は脈動に対す る位相に関して各ケースで同一の位相ではない。こ のため、流量変動の位相: φを加速側を 0~180°、 減速側を 180~360° と表すことにして、画像収録 した時刻の位相を表示することにする。

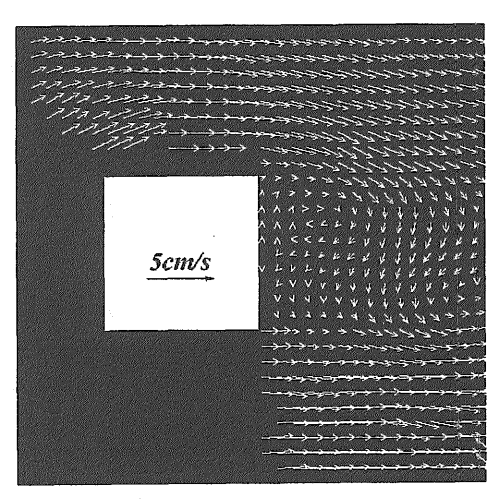


(a) 加速位相($\phi=85^{\circ}\sim95^{\circ}$)

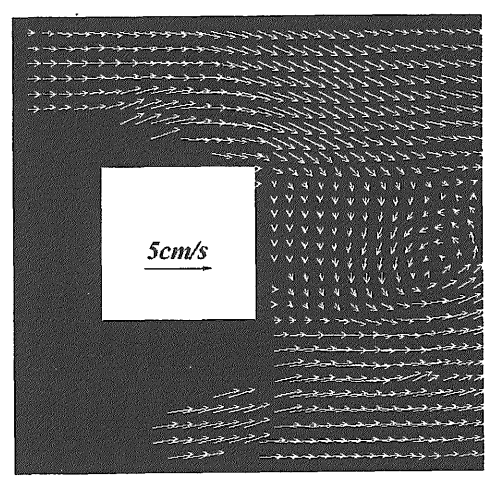


(b) 減速位相($\phi=265^{\circ}\sim275^{\circ}$)

図 2-6 脈動流のベクトル線図 (St*=0.088, Q_2/Q_1 =0.88 の場合)

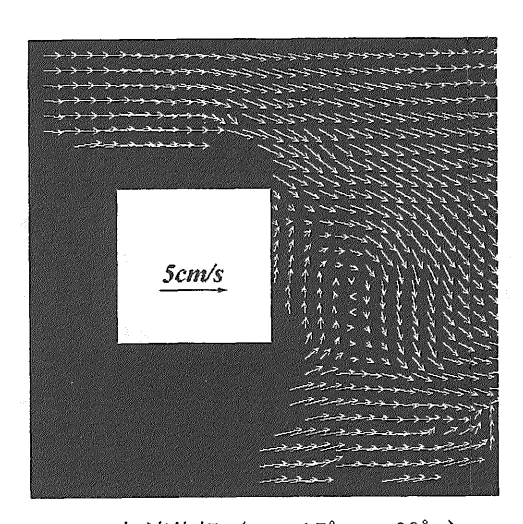


(a) 加速位相($\phi=85^{\circ}\sim95^{\circ}$)



(b) 減速位相($\phi=265^{\circ}\sim275^{\circ}$)

図 2 - 7 脈動流のベクトル線図 (St*=0.086, Q_2/Q_1 =0.14 の場合)



(a) 加速位相($\phi = 15^{\circ} \sim 60^{\circ}$)



(b) 減速位相($\phi=195^{\circ}\sim240^{\circ}$)

図 2-8 脈動流のベクトル線図 (St*=0.528, Q₂/Q₁=0.91 の場合)

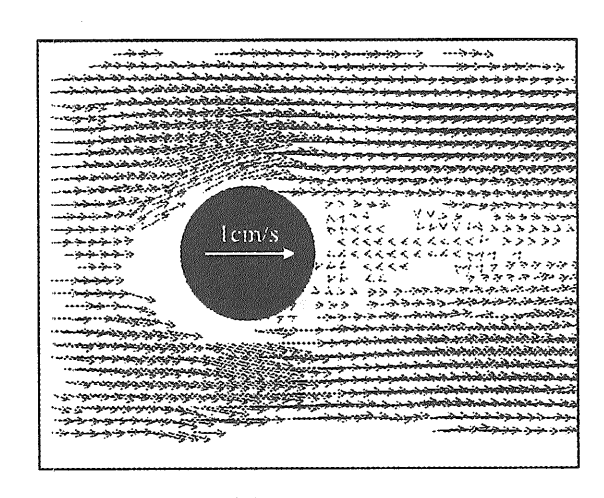
脈動周期が長い場合、脈動流の加速・減速位相の 持続時間がカルマン渦放出周期に比較して長いため、 流れは西村らの場合に比較的近い。図2-6に脈動振 幅が大きい、L/d=6.67,Re=1,012, Q_2/Q_1 =0.88,St *=0.088 の場合のベクトル線図を示す。この場合、 西村らが指摘したような脈動流の効果が顕著であり、 脈動流の加速時(φ=85°~95°)には角柱後流が 安定化してカルマン渦が放出され、減速時 (φ= 265°~275°)には角柱後流が不安定化する結果、 カルマン渦が上流方向に逆流し、相互の位置関係が 崩れて双子渦のようになり、最後には渦が殆ど消失 する様子が観察された。一方、脈動振幅の小さい場 合 (∴Re=1,011,Q $_{2}$ /Q $_{1}$ =0.14, St*=0.086) には 脈動流の加速・減速による効果は顕著ではなく、減 速位相において僅かにy方向の動揺が大きくなった のみで、流れは定常流と殆ど差はなかった。このと きのベクトル線図を図2.7に示すが、脈動の位相が 180°違っているにもかかわらず、両者に明瞭な差 が見いだせないことが分かる。

一方、脈動周期が短い場合には、カルマン渦放出 周期よりも短い脈動流の速度変動が角柱後流に作用 するため、脈動振幅が大きい場合、加速位相でカル マン渦列が十分形成されないまま減速位相に入って しまい、加速時にいったん形成された流れ場が減速 時の流れの不安定化作用によって崩壊してしまった。 この結果、カルマン渦の形成・崩壊が脈動周期と同 一の周期で繰り返される流れとなった。図2・8に L/d=6.67, Re=1, 012, $Q_2/Q_1=0.91$, St*=0.528 Ø 場合のベクトル線図を示す。図より、加速位相 (φ =15°~60°) で角柱背面下部に時計方向回転の渦 が形成され、減速位相(φ=195°~240°)で渦が 不安定化して双子渦のようになっているのが分かる。 本実験で脈動振幅が最も小さい場合 (L/d=6.67, Re =1, 010, $Q_2/Q_1=0$. 43, St*=0.528) にもこの図と ほぼ同様の流れとなった。

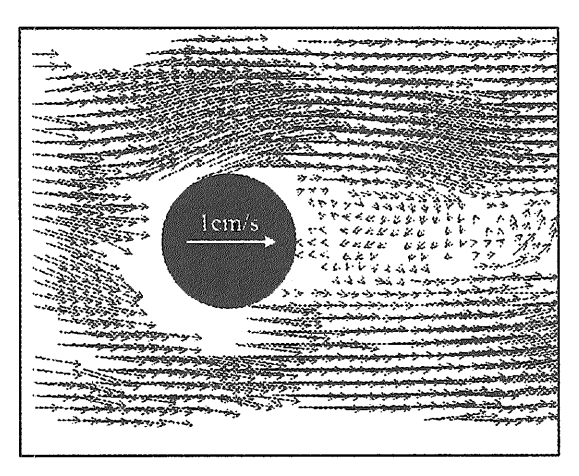
2. 2. 2. 円柱列を挿入した脈動流の場合

次に、円柱列を挿入した脈動流の実験結果29)~3 ²⁾ について報告する。当初、本研究用に導入した P TV装置は、一度に6時刻分の可視化画像しか収録 できなかったため、脈動流の画像解析を行うには十 分ではなかった。そこで、長時間に亘る画像収録が 出来るよう画像メモリを増強した後、円柱列を挿入 した流れに対して長時間の連続画像解析を行い、流 れ場の詳細な検討を行った。

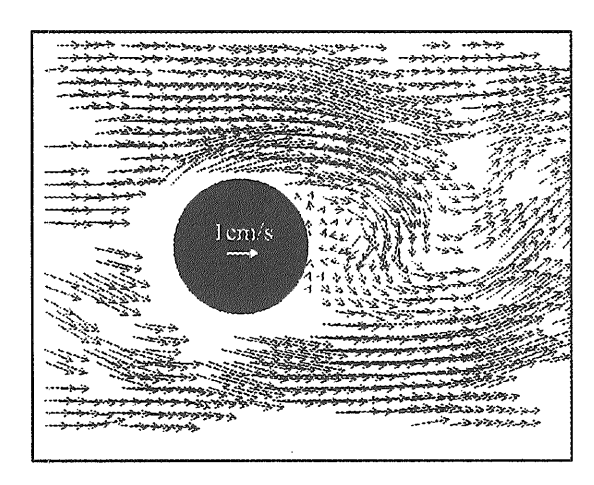
図2-9にL/d_c=6.5,Re=344,422,1039の定常流 における速度ベクトルを示す。速度ベクトルは、 1/30[sec]間隔の連続した6時刻の可視化画像から 求めている。各々の図中の黒いマルは、流れに挿入 された円柱を示している。Re=344のとき、円柱背



(a) Re=344



(b) Re=422



(c) Re=1,039

図2-9 円柱を挿入した定常流の 速度ベクトル

後に定常的な双子渦が形成され、カルマン渦は放出されない。しかし、Re=422 になると、時計方向回転のカルマン渦が円柱上部から放出されているのが分かる。これより、カルマン渦の放出が始まる臨界レイノルズ数は344と422の間にあることが分かる。レイノルズ数がそれ以上増加すると、図2-9(c)に示すようにカルマン渦はより明瞭になる。Re=1,000の円柱列を挿入した定常流の場合には、円柱の配列ピッチの実験範囲: $3.25 \le L/d_0 \le 13.0$ の全てで定常的なカルマン渦の放出が観察された。

図 2-10 に、 $L/d_c=6.5$ におけるストローハル数 とレイノルズ数の関係を示す。図中の黒マルは閉そ く比:d。/H=0.08 の単一円柱を挿入したチャンネル 流に関する横井らの実験結果33)を示す。図より、 本実験結果は彼らの結果とは顕著な違いがあること が分かる。本実験結果では、レイノルズ数の増加に つれて臨界レイノルズ数近傍でストローハル数が一 旦増加した後、Re_a>76 ではレイノルズ数の増加に つれてストローハル数が減少する傾向を示す。一方、 横井らの実験結果では、ストローハル数がレイノル ズ数の増加に伴って単調に増加しており、これは一 様流中に挿入された円柱後流の挙動と一致している。 よって、本実験結果と横井らの実験結果との差は円 柱の閉そく比の違いによるものと考えられる。なお、 本研究が対象とする NSR-7 の蒸気発生器では伝熱 管の外径が 20mm、(主流に直交する) 半径方向管ビ ッチが 24.9mm、軸(主流)方向ピッチが 24.2mm とな っている。実際の蒸気発生器では主流に直交する方 向にも複数の伝熱管が配置される体系であり、(主 流方向に円柱が一列、周期的に配置されている)本 研究の体系とは異なっているため、閉そく比による 直接比較は出来ないが、主流に直交する方向(=半

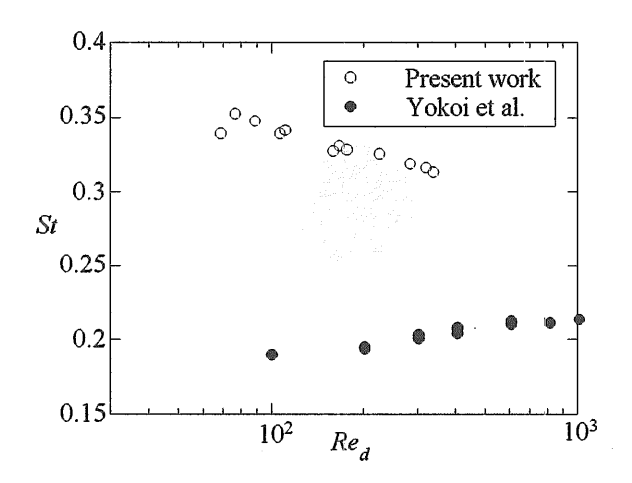


図2-10 円柱を挿入した定常流のストロー ハル数とレイノルズ数の関係

径方向)の伝熱管間隔が非常に狭いため、実機の流れは隣接する伝熱管壁面からの影響を大きく受けるものと考えられ、流路壁面の影響が無視できる横井らの結果よりも、本実験の流れ場の方が実機の流れに近いものと予想される。

図2-11 に、 $L/d_c = 6.5$, Re = 1000 のときのス トローハル数の時間平均値: $\mathrm{St_m}$ と脈動周期との関 係を示す。横軸は脈動ストローハル数:St*である。 また、図中の破線は定常流におけるストローハル数 を示している。なお、脈動流におけるストローハル 数は、円柱後流部における v 方向局所速度: v (後 述) の符号変化により決定した。図より、脈動振幅: $Q_2/Q_1=0.19$ の場合には、ストローハル数は脈動 の影響を受けず、定常流の場合とほぼ同一であるこ とが分かる。可視化実験における目視観察でも、こ の場合にはほぼ周期的にカルマン渦が円柱から放出 されるのが確認された。一方、 $Q_2/Q_1=0.59$ の場 合には、脈動周期が最も長い St*=0.081 のときに は定常流とほぼ同一であるが、St*≥0.119 ではス トローハル数が顕著に減少しており、脈動流のカル マン渦放出に及ぼす影響が大きいことが分かる。

脈動が及ぼす効果を検討するため、 $L/d_c = 6.5$,

Re = 1000, Q_2/Q_1 = 0.59 のときの、円柱後流部における y 方向局所速度: v (測定部中心軸上、円柱より 2.35d。下流で計測)と断面平均流速の時間変化を図 2.12 に示す。脈動周期が定常流におけるカルマン渦放出周期(St=0.318)に比べて長い(St*=0.08)とき、 y 方向局所速度の振幅及び変動周波数は時間と共に変動する。断面平均流速が増加する加速時には y 方向局所速度の振幅が小さくなり、減速

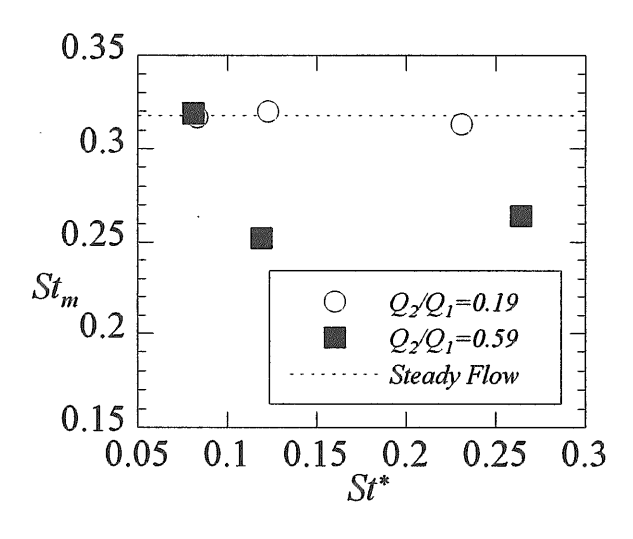
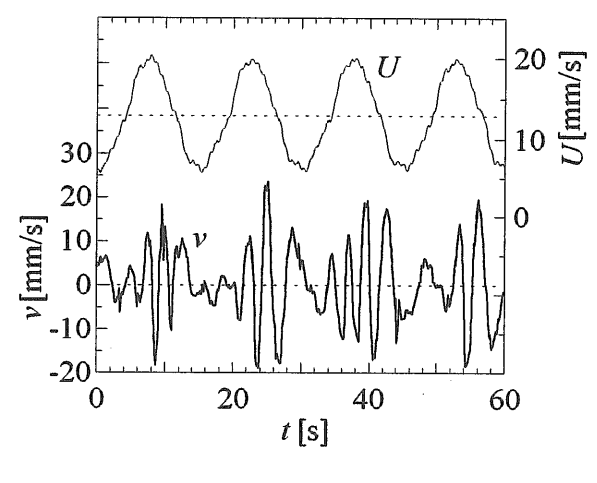
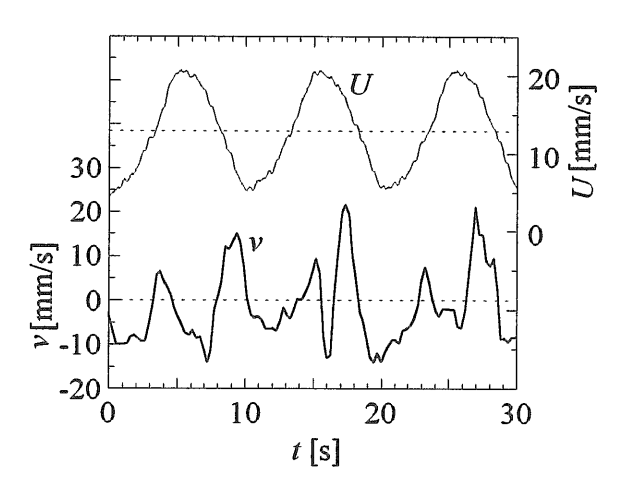


図2-11 円柱を挿入した脈動流のストロー ハル数と脈動周期の関係



(a)St*=0.08



(b)St*=0.12

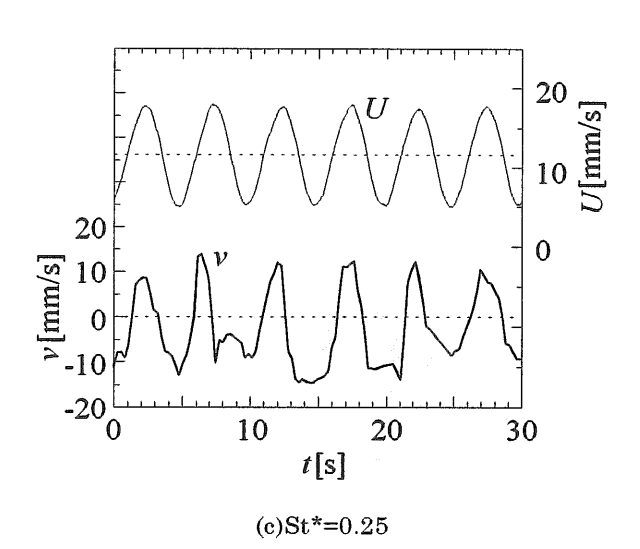
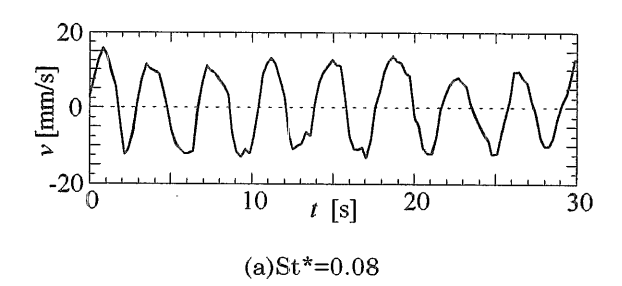


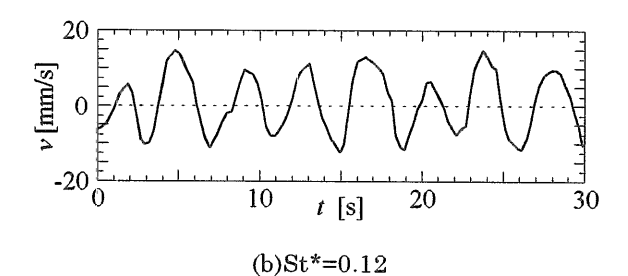
図2-12 流量変動と円柱後流の局所速度 との関係 (∴Q₂/Q₁=0.59)

時にはッ方向速度の振幅が大きくなる。これより、 加速時には流れが安定化し、減速時には不安定化す るものと考えられる。また、可視化実験における目 視観察から、加速時には円柱後流域が小さくなり、 減速時には大きくなる様子が観察された。また、y 方向局所速度の変動周波数、すなわち渦放出周波数、 は断面平均流速の増加と共に増大することが分かる。

 $St^* = 0.12$ のとき、カルマン渦は一回の脈動変動 につき丁度2回放出されていることが分かる。 v 方 向局所速度の振幅は St*=0.08 のときと同様、加速 時には振幅が小さくなり、減速時には振幅が増大す る。脈動周期が定常流におけるカルマン渦放出周期 とほぼ同程度である $St^* = 0.25$ のとき、カルマン渦 放出周波数は脈動周波数と一致する。しかし、y方 向局所速度の変動波形は脈動波形のような正弦波で はなく、断面平均流速が大きいときに鋭いピークを 持つ。この特徴は他の2ケースでも同様である。

一方、ストローハル数の時間平均値が脈動周期に





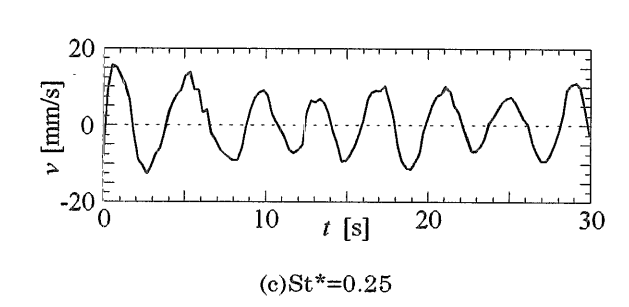


図2-13 円柱後流の局所速度の時間変動 $(::Q_2/Q_1=0.19)$

よって殆ど変化しない、 $L/d_s=6.5$, Re=1000, $Q_2/Q_1=0.19$ のときの円柱後流部における y方向局所速度: v の時間変化を図 2-13 に示す。この図より、速度変動波形が脈動周期によって殆ど変化しないことが分かる。よって、 $Q_2/Q_1=0.19$ の場合には、円柱後流は脈動流の影響を殆ど受けないことが明らかとなった。

2. 3. 2章のまとめ

角柱/円柱を挿入した脈動流に対する可視化実験 を行った結果、以下のことが明らかとなった。

①閉そく比が比較的大きい本研究の条件において、角柱列を挿入した定常流の場合、 $6.67 \le L/d \le 13.3$ では各々の角柱からカルマン渦がほぼ一定周期で放出され、そのストローハル数は約0.3となる。しかし、L/d = 3.33 の場合には、カルマン渦が周期的に放出されない不規則な流れとなる。一方、円柱列を挿入した定常流の場合には、本実験の全ての範囲: $3.25 \le L/d$ 。 ≤ 13.0 で定常的なカルマン渦の放出が観察され、ストローハル数は約0.32 であった。

②脈動振幅が小さい($Q_2/Q_1 \approx 0.15$)場合、 角柱列を挿入した流れでも、円柱列を挿入した流れ でも定常流との顕著な違いはなく、円柱列を挿入し た脈動流ではストローハル数についても差がないこ とが分かった。

③脈動振幅が大きい ($Q_2/Q_1 \ge 0.43$) 場合、脈

動周期が比較的長い($St^* \approx 0.08$)と、(角柱・円柱何れを挿入した流れでも)加速時には後流部が安定化し、減速時には不安定化する。しかし、脈動周期が短くなるにつれて、円柱列を挿入した流れではストローハル数が顕著に低下し、さらに脈動周期が短く($St^* \geq 0.528$)なると、角柱・円柱何れを挿入した流れでも脈動流の加速・減速によってカルマン渦が形成・崩壊する脈動流支配の流れとなる。

3. 脈動流の数値解析34)~39)

本研究では、脈動流の熱水力挙動を予測するため、 角柱列を挿入した体系に対して数値解析コードを構築した。本章では、本数値解析コードの特徴を把握 した上で、数値解析結果と可視化実験結果との比較 により、数値解析コードの妥当性を検証することに する。なお、本数値解析では対象流体を室温の空気 としたので、実験結果と数値解析結果を無次元化した上で両者を比較することにする。

3. 1. 解析手法 ·

本数値解析は二次元非圧縮の Navier-Stokes 方程式及びエネルギー式をコントロール・ボリューム 法によって離散化し、未知の速度・圧力場をSIM PLERスキーム 40 によって解いた。

$$\nabla \cdot \vec{u} = 0 \tag{4}$$

$$\frac{\partial \vec{u}}{\partial t} + \vec{u} \cdot \nabla \vec{u} = -\frac{1}{\rho} \nabla p + \nu \Delta \vec{u}$$
 (5)

対流項の離散化には早瀬のQUICK⁴¹⁾を、粘性項の離散化には中心差分を用いた。また、時間に関しては陰的差分を用い、時間ステップ幅を最小格子間隔基準のクーラン数が十分な余裕を持って1以下となるよう、10⁻³[sec]とした。

上下壁面及び角柱表面での境界条件は滑りなしの条件を適用した。また、入口・出口での境界条件は主流方向の周期性を仮定した(周期境界条件)。すなわち、計算領域のうち $2 < i \le (NI-2)$ の範囲を一つの単位領域とし、その外側では(例えば u(i,j)に関しては)次の関係が成り立つとした(図 3-1 参照)。

$$u(1,j)=u(NI-3,j), \quad u(2,j)=u(NI-2,j)$$

 $(: 2 \le j \le NJ-1) \quad (6)$
 $u(NI-1,j)=u(3,j), \quad u(NI,j)=u(4,j)$

速度に対する式(6)の条件だけでは断面の流量は不定となる。そこで、Navier-Stokes 方程式における主流 方向の圧力 勾配を圧力 勾配パラメータ: $\Delta P_{C}/L_{C}$ (但し、 ΔP_{C} は計算領域両端の対応す

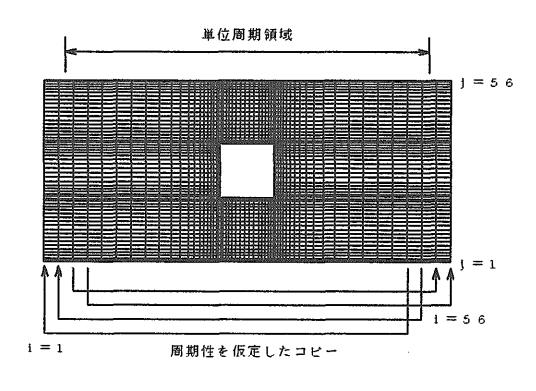


図3-1 周期境界条件

る2点間の圧力差、 L_c は計算領域の主流方向長 さ)を用いて

$$-\frac{\partial p}{\partial x} = \Delta P_C / L_C + f(x, y) \tag{7}$$

と表すことにする。式(7)を離散化すると、次式が 得られる。

$$P(i,j) = \Delta P_C / L_C \cdot x(i) + p_1(i,j) \tag{8}$$

ここで $\Delta P_C/L_C$ を既知、 $p_I(i,j)$ を未知数として扱 うこととし、境界条件として $p_1(i,j)$ に対して式(6) の周期性が成り立つとした。本数値解析で計算領域 を単位周期領域(図2-2の破線で囲まれた領域。 以後、区間と呼ぶ)とした場合、全ての角柱周りの 流れは同一・同位相であるとの非現実的な条件を課 すことになるため、場合によっては解析結果が不安 定となる (例えば、Re=1000 で L/d=6.67.10.0 の とき)ことが予備解析から明らかになった。このた め、本数値解析では計算領域の大きさをパラメータ として取り扱うこととし、単位周期領域を複数個連 結させたものを計算領域 (図3-2参照) として、 その前後に式(6)に示す周期境界条件を適用してい る。L/d=6.67,10.0,13.3 の1区間当たりの格子点 の数は各々52×56、65×56、77×56 であり、角柱 表面及び壁面近傍の最小格子間隔は 6.0×10⁻⁴[m] である。

数値解析は各々の場合について、 $\Delta P_{C}/L_{C}=2.0$ ×10⁻²[Pa/m] (::Re = 200~300) の定常解を初期 値として非定常解析を行った。計算は圧力勾配パラ メータを次第に増加させて、流路レイノルズ数が 1000 になる所定の値 (L/d=6.67 の場合には $\Delta P_{C}/L_{C} = 2.4 \times 10^{-1}$ [Pa/m], L/d=10.0 では=1.7

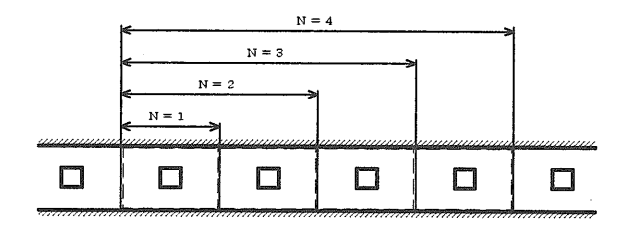


図3-2 数値解析における計算領域の拡大

 $\times 10^{-1}$ [Pa/m], L/d=13.3 では 1.3×10⁻¹ [Pa/m]) に達した後は圧力勾配パラメータを一定に保ち、流 れが安定するまで十分長い時間計算を進行させた後、 揚力・抗力等を計算した。また、式(8)中の圧力勾 配パラメータ: $\Delta P_{C}/L_{C}$ を正弦波状に時間変動させ ることにより脈動流の計算を行った。

3. 2. 解析結果と考察

まず、定常流の数値解析結果について検討を行う。 図3-3に L/d=6.67, Re=1000, 計算領域が3区 間の場合(以後、ケース2H3と呼ぶ)の角柱に作 用する抗力、揚力の時間変化を示す。横軸は無次元 の時間である。図より、角柱に作用する揚力はゼロ を中心値として一定周期で正弦波状に時間変動して いることが分かる。また、抗力は揚力変動の 1/2 の 周期で変動していることが分かる。揚力、抗力のこ のような挙動は、解析結果においても実験結果と同 様、各角柱からカルマン渦が一定周期で放出されて いることを示しており、これは流線、或いは等渦度 線図 (図省略) の時間変化からも確認された。他の ケースでも各角柱からカルマン渦が周期的に放出さ れることが確認されたが、先に述べたように、計算 領域を単位周期領域としたケース2H1,3H1で はその挙動は不安定だった。

表3-1に本研究で行った、定常流に関する全て の数値計算結果を示す。表から分かるように、①Re =1,000 の場合、L/d=6.67,10.0 では計算領域の大 きさによって揚力振幅:C,やストローハル数等の解 析結果が変動するが、L/d=13.3 では計算領域の大 きさによって殆ど変動しない。②Re=667の場合

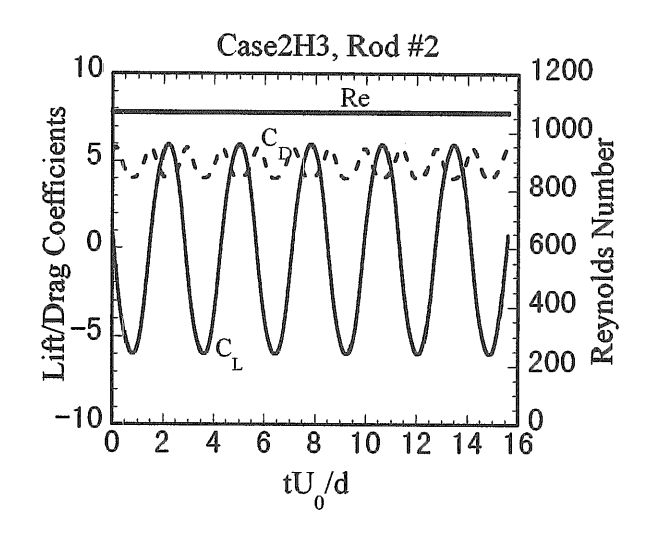


図3-3 解析結果における揚力、抗力の時間変化

には、L/d=6.67,10.0 でも解析結果は計算領域の大きさによって殆ど変動しないことが分かる。

図3-4に解析結果と実験結果の流れ場を比較して示す。可視化実験結果は図2-4(a)の元となったベクトル線図であり、数値解析結果(但し、計算領域は3区間)は実験結果とほぼ同位相の流線図である。この図より、両者で流れ場がよく一致していることが分かる。なお、渦中心位置が若干ずれているが、これは①両者の位相が完全には一致していないことによること、②L/d=6.67の場合、数値解析結果は計算領域の大きさによって変動することによることが原因と考えられる。

次に、Re=1,000 の定常流におけるストローハル数に関して両者の比較を行う (図3-5参照)。先に述べたように、本数値解析では L/d=6.67, 10.0 のとき計算領域の大きさによって解析結果が若干変動するが、図では計算領域を最も大きく取った場合の

解析結果をシンボルで示し、計算領域の違いによる解析結果の変動を誤差棒で表している。図から、L/d=10.0, 13.3 では解析結果は実験結果と良く一致していることが分かる。また、L/d=6.67 の場合も、解析結果と実験結果との差は両者における誤差を考慮すると僅かである。

以上のことから、二次元非定常数値解析コードは $L/d=6.67\sim13.3$ の範囲の定常流に関して、定性的にも定量的にも実験結果とよい一致を示し、流れ場を精度よく模擬出来ることが明らかとなった。なお、可視化実験において、L/d=3.33 の流れ場は角柱からカルマン渦が周期的に放出されず、他のケースとは定性的に異なることが明らかとなったが、数値解析でも不安定で変動の激しい流れとなった。L/d=3.33 の場合の数値解析に関しては、周期境界条件適用の妥当性を含めてさらに検討を行うことが必要である。

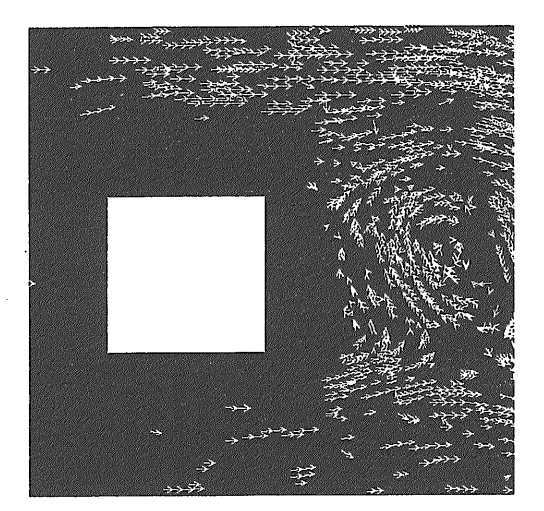
表3-1 定常流の数値解析結果

ケース	L/d	N	$\Delta Pc/Lc$	Re	Re₃	S t	C_D	CL	$\Delta \phi / 2\pi$
2 H 1	2.0	1	0.24[Pa/m]	989	148.4	0.2795	4.786	6.673	-
2 H 2	"	2	"	1,070	160.5	0.3831	4.740	4.530	0.4980
2 H 3	"	3	11	1,067	160.1	0.3548	4.732	5.977	0.3321
2 H 4	11	4	"	1,064	159.5	0.3398	4.728	6.874	0.2509
2 H 5	"	5	"	1,056	158.4	0.3282	4.726	7.454	0.2003
2 H 6	n	6	n	1,067	160.1	0.3548	4.732	5.977	0.3321
2 H 7	11	7	11	1,069	160.3	0.3716	4.736	5.088	0.4268
2 H 8	11	8	"	1,064	159.5	0.3392	4.727	6.874	0.2504
2 H 9	11	9	"	1,067	160.1	0.3548	4.732	5. 977	0.3321
2 H 10	11	10	"	1,068	160.2	0.3662	4.735	5.344	0.3960
3 H 1	3.0	1	0.17[Pa/m]	1,042	156.3	0. 2953	5.019	6.490	
3 H 2	"	2	JJ	1,029	154.3	0.2971	5.025	6.867	0.9955
3 H 3	11	3	n	1,068	160.2	0.3435	5.018	5.276	0.2876
3 H 4	"	4	n	1,061	159.1	0.3342	5.024	5.932	0.2264
3 H 5	11	5	n .	1,053	157.9	0.3246	5.036	6.025	0.1759
4 H 1	4.0	1	0.13[Pa/m]	1,030	154.4	0.3092	4.978	5.947	_
4 H 2	"	2	n	1,028	154.2	0.3097	4.993	6.149	0.9953
4 H 3	"	3	"	1,029	154.4	0.3089	4.996	5.993	0.9974
2 L 2	2.0	2	0.12[Pa/m]	681	102.1	0. 2999	5.071	6. 675	1.0000
2 L 3	"	3	"	681	102.1	0. 2988	5.064	6.766	0.9993
2 L 4	"	4	n,	681	102.1	0. 2977	5.066	6.821	1.0000
2 L 5	11	5	"	680	102.0	0.2969	5.077	6.664	0.9996
2 L 6	11	6	"	681	102.1	0.2990	5.060	6.775	0.9929
3 L 2	3.0	2	0.075[Pa/m]	669	100.3	0.3047	4.617	5. 100	1.0000
3 L 3	"	3	"	669	100.3	0.3047	4.617	5. 100	1.0000
3 L 4	"	4	И.	669	100.3	0.3047	4.617	5. 100	1.0000

次に、L/d=6.67, 3区間の数値解析において圧 力勾配パラメータ: $\Delta P_{C}/L_{C}$ を

$$\Delta P_C / L_C = 2.4 \times 10^{-1} + 6.0 \times 10^{-1} \sin \omega t$$
 (9)

と正弦波状に時間変化させ、十分時間が経過したと きの断面平均流速及び圧力勾配の時間変化を図3-6(a)に示す。断面平均流速は無次元化して流路レ イノルズ数として表示し、圧力勾配は計算領域両端 間の値を示す。図より、圧力勾配パラメータ:



実験結果 (ベクトル線図)

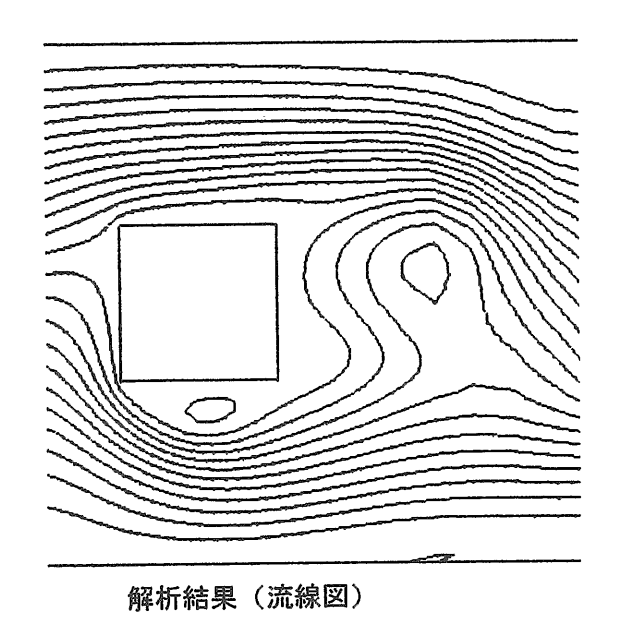
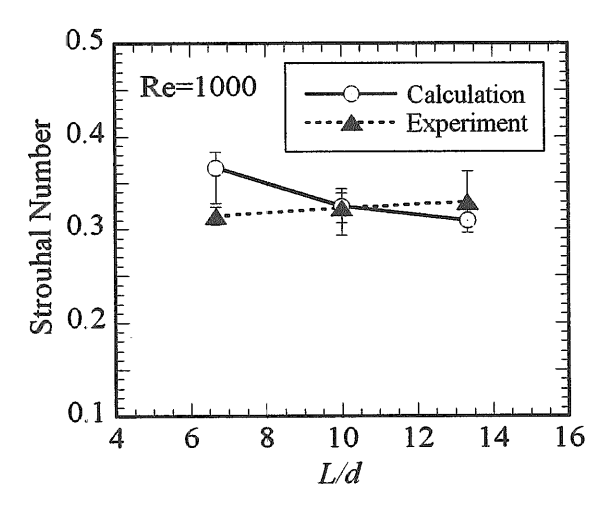
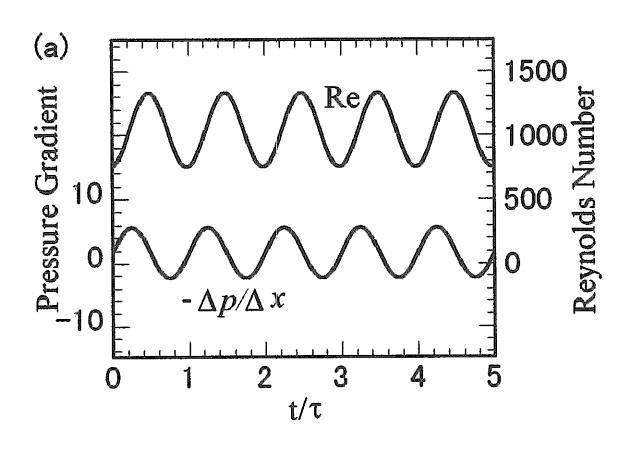


図3-4 解析結果と実験結果の比較 (Re=1000, L/d=6.67の定常流)

 $\Delta P_{C}/L_{C}$ を正弦波状に変化させると、断面平均流 速が周期的に増減し、脈動流となることが分かる。



定常流におけるストローハル数の 図3-5の比較



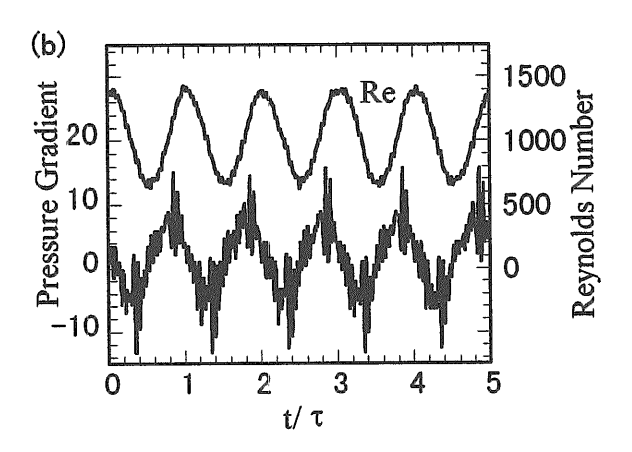


図3-6 脈動流量と圧力勾配の関係 (a)解析結果、(b)実験結果

このとき、時間平均流路レイノルズ数: $2H \cdot \overline{U}/v = 1039$ 、脈動ストローハル数: $\mathrm{St}^* = 0.159$ 、 $\mathrm{Q_2/Q_1} = 0.28$ であった。各区間における圧力勾配は、その波形が脈動周期ごとに変動するものの、ほぼ同一位相で脈動周期と同一周期で変動していることが分かる。これとほぼ同条件の脈動流

 $(2H \cdot \overline{U}/v = 1027, \text{ St}^* = 0.142, \text{ Q}_0/\text{Q}_1 = 0.41)$

の実験結果を図3-6(b)に示す。圧力勾配の振幅は 実験結果の方がやや大きい(これは実験結果の脈動 振幅が大きいためである)ものの、流速波形と圧力 勾配波形の位相関係は両者でほぼ一致している。

L/d=13.3, 3区間の数値解析における各角柱に作用する揚力係数を図3-7に示す。脈動のない定常流の場合と異なり、各角柱の揚力係数の振幅は各周期毎に変動するものの、一定周期で増減を繰り返しており、脈動流においても各角柱からカルマン渦が放出されていることを示している。この結果は、可視化実験結果と一致する。これらの数値解析結果と実験結果との比較により、数値解析は実験結果とよく一致することが明らかとなった。

同じ場合の角柱表面での熱伝達特性の時間変化を、定常流の場合に比較して図3-8に示す。流れに置かれた角柱表面の熱伝達は、流れに直面する前面部分の熱伝達率(=Nu_{rear})が最も高く、後流が形成される背面部(=Nu_{rear})で最も低くなる。脈動流中に置かれた角柱の平均熱伝達率は、流量変動と同一周期で変動してることが分かる。一方、定常流中におかれた角柱の平均熱伝達率は、顕著な周期変動を示していない。なお、両者の時間平均値はほぼ同一であり、本条件の脈動流の場合、熱伝達率は脈動により殆ど影響されないことが分かる。

3.3.3章のまとめ

角柱列を挿入した体系に対して、周期境界条件を 適用した数値解析コードを構築して数値解析を実施 した結果、以下のことが明らかとなった。

①本数値解析コードでは計算領域を単位周期領域とする場合、非現実的な拘束条件を与えることになり解析結果が不安定になる場合(ケース2 H 1、ケース3 H 1)がある。Re=1,000の場合、L/d=6.67,10.0では解析結果は計算領域の大きさによって変動するが、L/d=13.3では計算領域の大きさで影響を受けない。また、Re=667、L/d=6.67,10.0の場合には、解析結果は計算領域の大きさによって変動しない。

②定常流の解析結果は、各角柱からカルマン渦が 周期的に放出される流れとなり、実験結果と定性的 に一致する。また、ストローハル数の値も実験結果 と良く一致しており、解析結果が定常流に対して妥

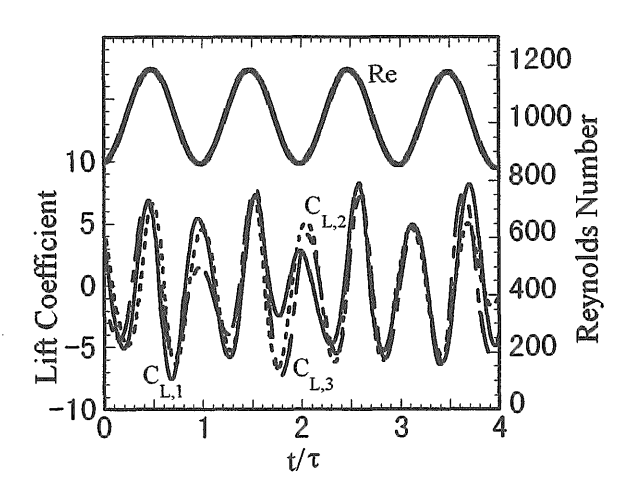
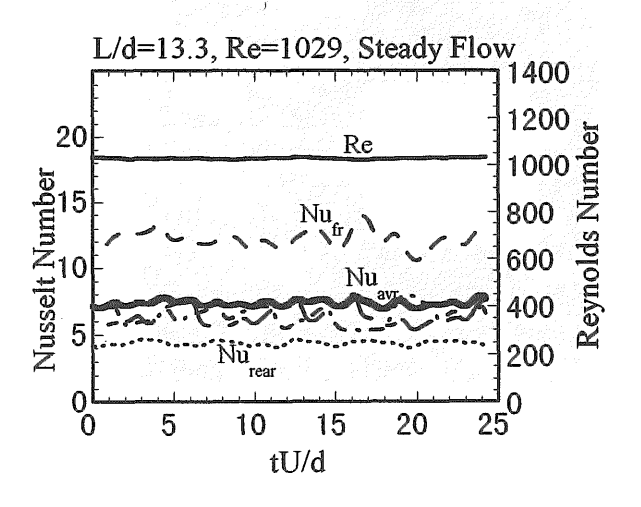
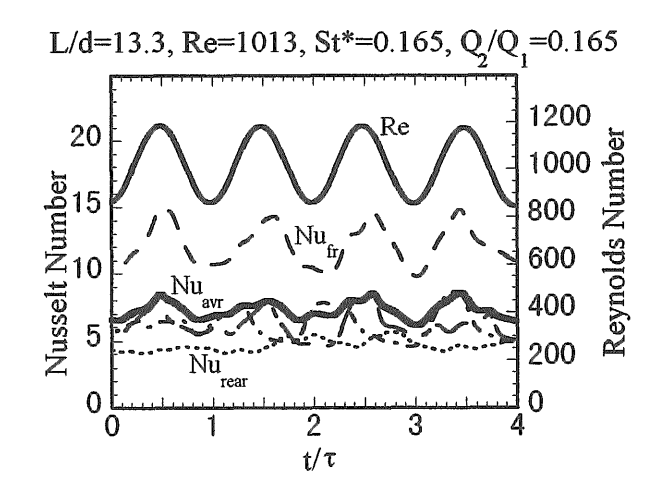


図3-7 脈動流における揚力係数の時間変動



(a)定常流の解析結果



(b)脈動流の解析結果

図3-8 角柱表面熱伝達率の時間変動

当なものであることが示された。

③本数値解析コードの圧力勾配パラメー $eta: \Delta P_C/L_C$ を正弦波状に時間的変化させると、流 れは脈動流となる。また、流量変動と圧力勾配の挙 動は実験結果とほぼ一致しており、本数値解析結果 が脈動流に対しても妥当であることが明らかとなっ た。

4. 横揺れを伴う舶用炉炉心部の熱伝達特性

舶用炉の横揺れ時自然循環実験のデータを整理し て、横揺れ時の炉心部熱伝達率を求めた42)~45)。 垂直な管群の自然対流熱伝達に関しては、幾つか報 告46)~49)があるが、動揺状態における管群の自 然対流熱熱伝達について研究した例は見当たらない。

4. 1. 実験装置及び実験方法

図4-1に舶用炉の横揺れ時自然循環実験に用い た実験装置の概略を示す。実験装置は一体型舶用 炉:NSR-750)を高さ方向に実寸で、断面方向には ヒーター出力に比例して縮小して模擬した装置であ り、動揺台に搭載されている。

図4-2に炉心部の温度測定点の概略を示す。横 揺れによる炉心内部の一次冷却水流れが実炉と類似 となるよう、炉心部の断面は 360mm (幅) ×75mm (奥 行)となっており、有効発熱長:1500mm、直径 10.4mm の電気ヒーターが114本(6本の同一寸法のタイロ ッドと共に)、15mm のピッチで24(幅)×5(奥行) の碁盤目に組まれている。一次冷却水温度は外径1

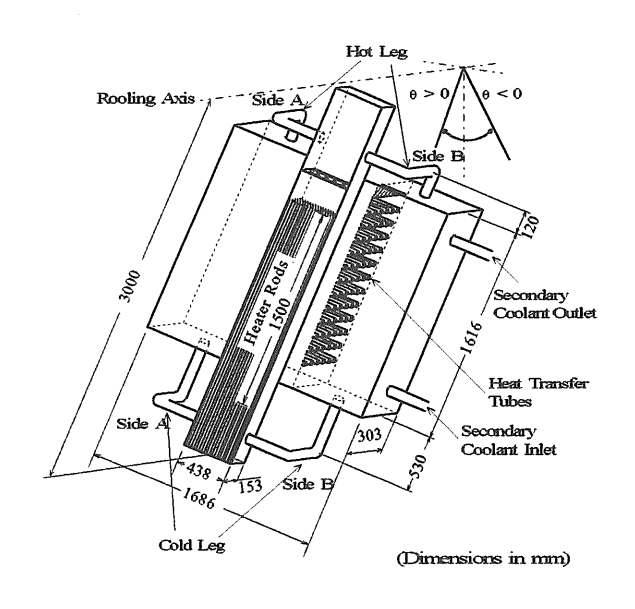


図4-1 横揺れ自然循環実験装置の概略

mm のT型シース熱電対で計測され、ヒーター表面 温度は同一外径のK型シース熱電対で計測された。 なお、K型シース熱電対はヒーター表面上の突起物 とならないよう、ヒーター表面に溝を切った上でロ ウ付けされている。各々の測定誤差は、T型熱電対 で±0.8%、K型熱電対で±1.2%と見積もられる。 図中のレベル1~6は各々、下部プレナム、下部タ イプレート、炉心発熱部中央、第4スペーサの上流 部、同下流部、上部タイプレートに対応している。 レベル2~6では、一次冷却水の流れパターンを把 握するため、各レベルのA側、B側及び中央に熱電 対を配置している。

4.2. 実験結果と考察

図4-3に正立時及び定傾斜時の炉心部平均熱伝 達率を示す。横軸はレイリー数である。図中の破線 及び一点鎖線は、3×3の碁盤目配列の管群体系に おいて自然対流熱伝達率を求めた E1-Genk らの実験 結果46)であり、

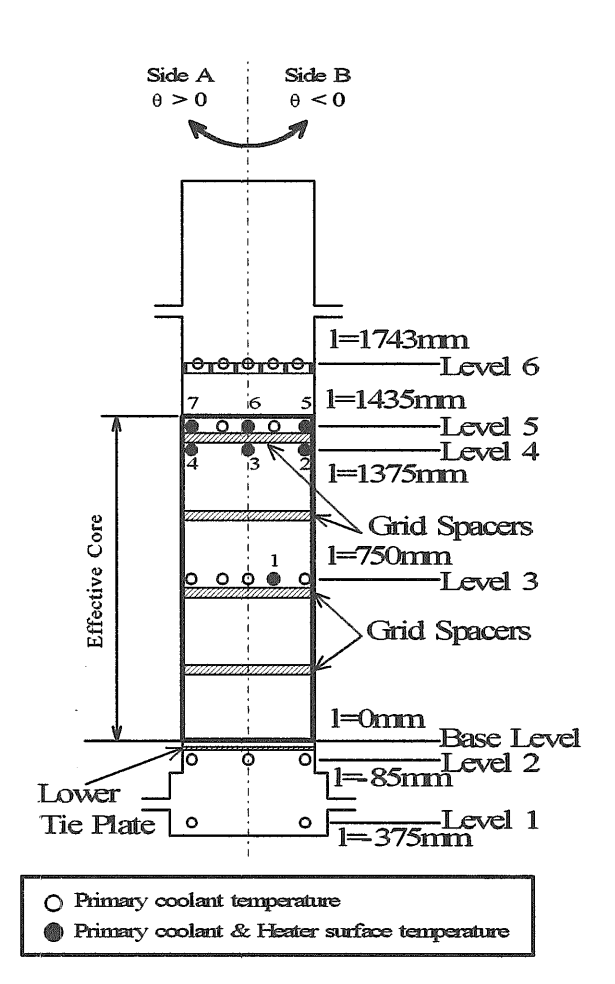


図4-2 炉心部の温度測定点

$$Nu_m = 0.178Ra^{0.27}$$
 : $P/d_c = 1.5$ (10)

$$Nu_m = 0.057Ra^{0.35}$$
 : $P/d_c = 1.25, 1.38$ (11)

と示される ($\therefore P/d_o$ は管群の配列ビッチ)。本実験 結果はデータのばらつきが少なく、正立時の実験データの最適相関式

$$Nu_m = 0.517Ra^{0.207}$$
 : $P/d_c = 1.44$ (12)

は実験結果を良く整理できている。式(10)も本実験結果と比較的良く一致していると言えるが、炉心部平均熱伝達率を過大評価する傾向を示しており、レイリー数の増大につれて本実験結果との差が次第に増大し、ついには測定誤差範囲を越えてしまう。また、図から明らかなように、本実験の範囲では定傾斜時の炉心部平均熱伝達率は正立時の値と殆ど変わらないことが分かる。

なお、本実験装置のように流路全体が長いループを形成する場合には、炉心部に流入する流れを局所的に強制循環流とし、炉心部の流れを複合対流として取り扱うこと⁵¹⁾も検討する必要がある。El-Genkらは先述の体系に対して強制循環流を付加した複合対流実験を実施し、管群部の複合対流熱伝達相関式を求めている。彼らによれば、複合対流熱伝達率は、

$$Nu_{CMB} = (Nu_m^4 + Nu_{FL}^4)^{0.25}$$
 (13)

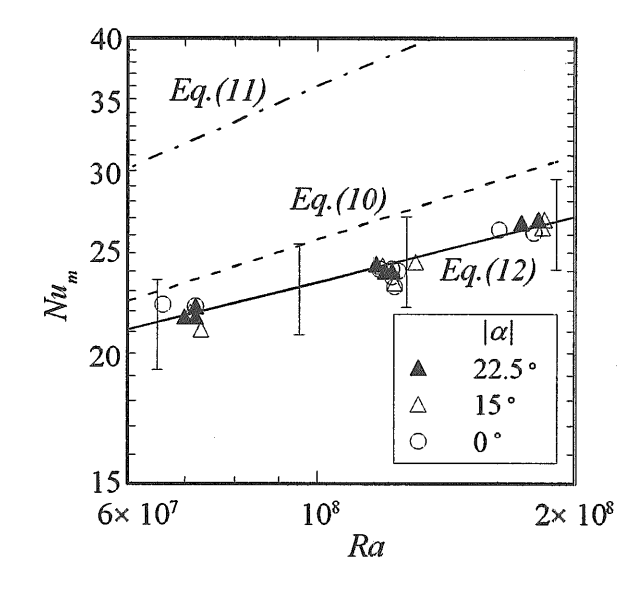


図4-3 正立時炉心部平均熱伝達率

と表される。なお、式(13)の右辺第1項は(本実験結果の場合)式(10)を表し、右辺第2項は次式となる。

$$Nu_{FL} = A \cdot \operatorname{Re}_{h}^{B} \operatorname{Pr}^{0.33} \tag{14}$$

但し、
$$A = 2.97 - 1.76(P/d_c)$$
 (15)

$$B = 0.56(P/d_c) - 0.30 \tag{16}$$

図4-4に、本実験結果と E1-Genk らの複合対流 熱伝達相関式との比較を示す。図中のバーは測定誤 差(±10%)を示す。本実験結果は彼らの複合対流 相関式から得た推定値によって正規化されている。 横軸はリチャードソン数である。図中の破線は、本 実験結果が彼らの複合対流相関式と一致している状態を示している。本実験結果は破線よりも8~17% 低めの値を示しており、両者の一致は図4-3に示す自然対流熱伝達相関式よりも悪い。これより、本 実験結果は(複合対流相関式よりも)自然対流相関式と良く一致することが分かる。

図4-5 に横揺れ時の炉心部平均熱伝達率を示す。 横軸は動揺のリチャードソン数: *Ri_R であり、その 値は動揺周期が短くなるにつれて減少する。縦軸は、 横揺れ時の平均熱伝達率を正立時の平均熱伝達率で 正規化した値である。図より、 *Ri_R \leq 2 では動揺の リチャードソン数の減少に伴って炉心部平均熱伝達 率が単調に増加していることが分かる。よって、 横 揺れ運動の慣性効果が増加するにつれて炉心部の熱 伝達は促進されることが分かる。この伝熱促進は横

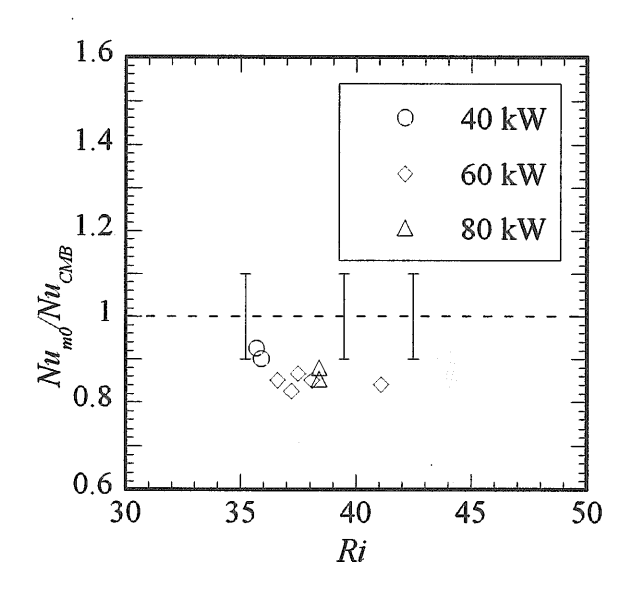


図4-4 複合対流熱伝達整理式との比較

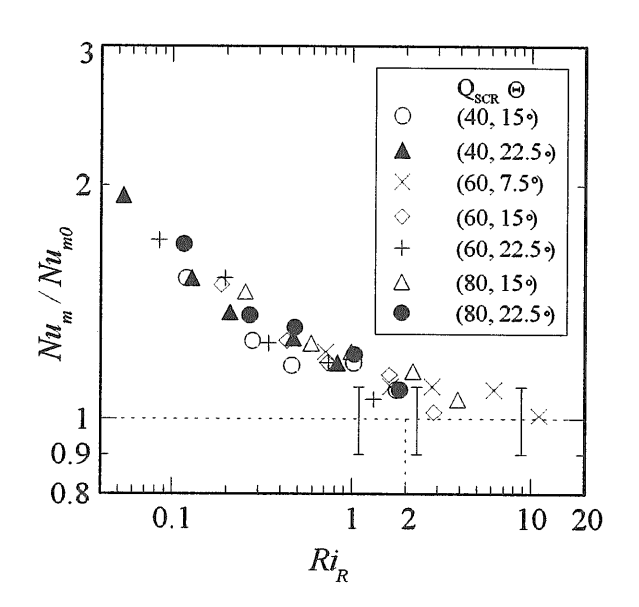


図4-5 横揺れ時の炉心部平均熱伝達率

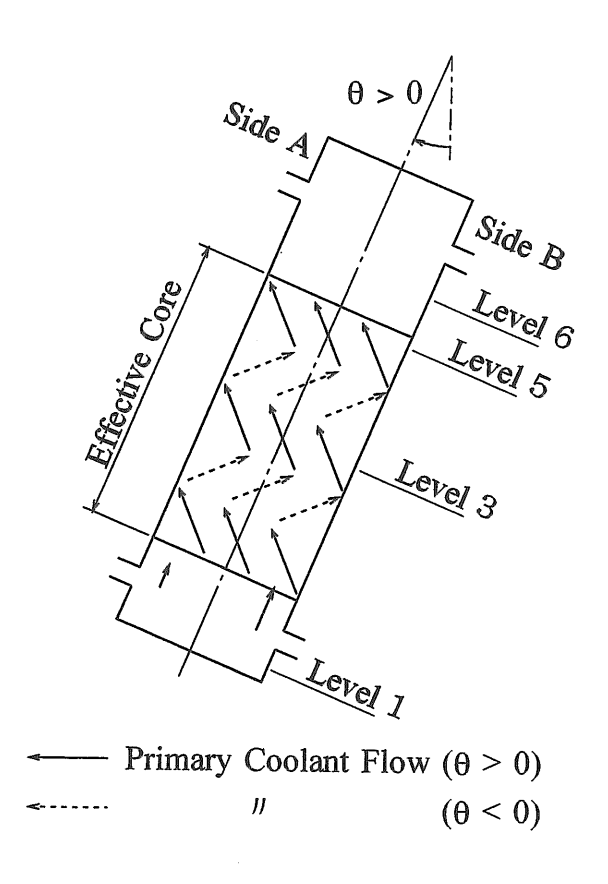


図4-6 横揺れ時の炉心部内部流れ (模式図)

揺れ運動により誘起される炉心部の内部流れ1)(図 4-6参照) により起こるものと考えられる。一方、 Ri_R>2では炉心部平均熱伝達率は動揺のリチャー ドソン数によって殆ど変化せず、正立時の値とほぼ 同じであることが分かる。

 $Ri_R \leq 2$ の領域における横揺れの効果を詳細に検 討するため、図4-5の結果を次元解析により整理 したのが図4-7である。実験結果は $0.05 < Ri_R \le 0.3$ の範囲ではほぼ一定値であり、動揺のリチャードソ ン数によって変化しない。よって、この範囲では炉 心部平均熱伝達率は動揺のレイノルズ数:Re_Rのみ によって整理され、横揺れの慣性力が炉心部熱伝達 に支配的な役割を果たすことが分かる。この結果、 横揺れ時の炉心部熱伝達は次の3つの領域に分類さ れる。(1)熱伝達が横揺れの慣性力によって支配さ れる領域A (0.05 < Ri_R ≤ 0.3)、(2)熱伝達が横揺れ の慣性力と自然対流との複合効果に影響される領域 B (0.3< Ri_R≤2)、(3)熱伝達が自然対流に支配さ れる領域 $C(Ri_R>2)$ 。これらの熱伝達相関式は 以下の通りである。

 $0.05 < Ri_R \le 0.3$:

$$Nu_m = 0.203 \,\mathrm{Re}_R^{0.5} \,\mathrm{Pr}^{0.33}$$
 (17)

 $0.3 < Ri_R \le 2$:

$$Nu_m = 0.246Ri_R^{0.16} \text{ Re}_R^{0.5} \text{ Pr}^{0.33}$$
 (18)

 $Ri_R > 2$:

$$Nu_m = 0.517Ra^{0.207} (12)$$

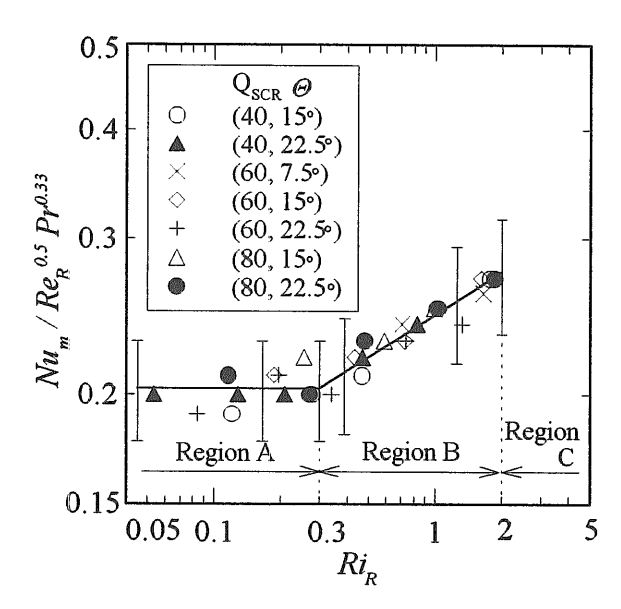


図4-7 横揺れ時の炉心部平均熱伝達率の3様式

4. 3. 4章のまとめ

舶用炉の横揺れ時自然循環実験データを整理して、 炉心部熱伝達率を求めた結果、以下のことが明らか となった。

①舶用炉の正立時自然循環における炉心部熱伝達率はレイリー数によって整理される。また、本実験範囲($|\alpha| \le 22.5[\deg]$)では、炉心部熱伝達率は傾斜の影響を受けなかった。

②横揺れ自然循環時の炉心熱伝達率は横揺れ運動によって促進され、動揺のリチャードソン数により、1)熱伝達が横揺れの慣性力によって支配される0.05 $< Ri_R \le 0.3$ の領域、2)熱伝達が横揺れの慣性力と自然対流との複合効果に影響される $0.3 < Ri_R \le 2$ の領域、3)熱伝達が自然対流に支配される $Ri_R > 2$ の領域に分類される。

5. あとがき

本研究は、平成7年度から5年間実施された原子 力試験研究「舶用炉の船体運動条件下における熱水 力特性及び安全性評価に関する研究」の中項目とし て実施されたものである。上記研究課題では、船体 運動条件下における原子力船の運転特性、安全性に ついての総合的解析・評価方法の開発・整備を目的 として、これまで当部が蓄積してきた一体型舶用炉 の熱水力特性に関する知見(貫流型蒸気発生器の不 安定流動特性、一次水自然循環特性に及ぼす船体傾 斜及び横揺れの影響、圧力抑制型格納容器圧力・温 度応答に関する実験データ等)をベースにして「総 合知的情報データベース」を構築した。なお、上記 目的達成のためには、上記「データベース」と日本 原子力研究所所有の「原子力船エンジニアリング・ シミュレーション・システム」との結合を前提とし ている。本研究は、脈動流が舶用炉の熱水力特性に 及ぼす影響・効果を上記データベースに追加するた め実施されたものであり、本研究で得られた知見の 一部については既に上記「データベース」に組み込 まれている。得られた知見は、今後も順次、追加し てゆく予定である。

参考文献

(1) H. Murata et al., "Natural Circulation Characteristics of a Marine Reactor in Rolling Motion", Nucl. Eng. Design, 118(1990), pp.141-154

- (2)日本原子力研究所,「原子力船研究開発の現状 (1995)」, p.51
- (3)井口学ほか2名,「円管内脈動流れの乱れに関する実験的研究」,機論,51-464 B,(1985),pp.1139-1146
- (4)角田勝ほか1名,「く形断面曲り管内の脈動 流」,機論,53-486 B,(1987),pp.341-348
- (5)中村稔ほか5名,「管内脈動流の流動及び伝熱 特性」,機講論, No.922 -1(1992-9), pp.163-165
- (6)谷一郎ほか2名,「流体力学実験法」,岩波書店, (1977)
- (7) T. Morel, "Comprehensive Design of Axisymmetric Wind Tunnel Contractions", *Trans.*ASME, J. Fluids Eng., 97(1975), pp.225-233
- (8) T. Morel, "Design of Two-Dimensional Wind Tunnel Contractions", *Trans. ASME, J. Fluids Eng.*, 99(1977), pp.371-378
- (9)伊藤英覚ほか 13 名,「東北大学高速力学研究 所附属気流計測研究施設 乱流熱伝達風洞設備 および風洞性能について」,東北大高速力学研 報告,44-395,(1980),pp.93-151
- (10)小林陵二,「風洞用収縮ノズルの設計について」, 東北大高速力学研報告, 46-400, (1981), pp.17-21
- (11) J. H. Downie et al., "On the Design of Three-Dimensional Wind Tunnel Contractions", Aeronautical Journal, Aug/Sep 1984, pp.287 -295
- (12)種子田定俊ほか1名,「風洞測定部に発生する 渦」, 九大応用力学研所報, 36(1972), pp.39-48
- (13)種子田定俊ほか1名,「風洞収縮部の壁面圧力 分布」, 九大学応用力研所報, 45(1976), pp.531-534
- (14) S. J. Kline et al., "Wide-Angle Diffusers of High Performance and Diffuser Flow Mechanisms", J. Aeronautical Sciences, 24(June, 1957), pp.469-470
- (15) G. B. Schubauer et al., "Effect of Screens in Wide-Angle Diffusers", NACA Report No.949,(1947)
- (16)日本機械学会,「管路・ダクトの流体抵抗」, 日本機械学会, (1979), pp.109-114
- (17)流れの可視化学会,「流れの可視化ハンドブック」, 朝倉書店, (1986), p.184
- (18)妹尾泰利,「内部流れ学と流体機械」,養賢堂, (1973), p.99
- (19)村田裕幸ほか2名,「角柱列を挿入した脈動流のPTVによる可視化」,可視化情報シンポ, (1999-7), pp.401-404
- (20)村田裕幸ほか2名、「角柱列を挿入した脈動流

- の可視化実験」,第71回船研講演会,(1998-6), pp.69-74
- (21)村田裕幸ほか2名、「脈動流が舶用炉の熱水力 特性に及ぼす影響の研究」,第74回船研講演会, (2000-6), pp.355-360
- (22)日本機械学会,「機械工学便覧」,日本機械学会, (1987)、A3編, p.128
- (23)鈴木洋ほか3名,「角柱の挿入により非定常化 した平行平板間流れと熱伝達 (第1報:数値解 析結果の検討およびカルマン渦列の可視化実 験)」,機論, 57-536 B,(1991), pp.1390-1395
- (24)鈴木洋ほか2名,「同(第2報:流れの統計的 性質と時間変化特性)」,機論, 57-536 B,(1991), pp.1396-1402
- (25) 鈴木洋ほか3名,「同(第3報:熱伝達特性と 伝熱機構)」,機論, 57-536 B,(1991), pp.1403-
- (26) H. Suzuki et al., "Unsteady Flow in a Channel Obstructed by a Square (Crisscross Motion of Vortex)", Int. J. Heat Fluid Flow, Vol.14, No.1, (1993), pp.2-9
- (27) R. W. Davis et al., "A Numerical-Experimental Study of Confined Flow around Rectangular Cylinders", Phys. Fluid, Vol.27, No.1, (1992), pp.46-59
- (28) 西村俊彦ほか2名、「脈動流中の角柱周りの流 動及び伝熱特性に関する数値解析」,第 31 回日 本伝熱シンポジウム,(1994-5), pp.496-498
- (29) K. Sawada et al., "Flow Characteristics of Oscillating Flow in a Channel obstructed by an Array of Circular Cylinders", ASME Int. Mech. Eng. Conf. & Expo., (2000-11)
- (30)澤田健一ほか2名,「チャネル流路内円柱列を 過ぎる脈動流の可視化実験」,日本原子力学会 年会, (1999-3), H31
- (31)澤田健一ほか2名,「円柱列を過ぎる脈動流に 関する基礎的研究」,日本原子力学会年会, (2000-3), E21
- (32)澤田健一ほか2名,「円柱列を挿入したチャネ ル流路内脈動流の可視化実験」,第73回船研講 演会, (1999-6), pp.293-296
- (33)横井嘉文ほか3名,「矩形流路内におかれた円 柱からの渦放出」,日本機械学会流体工学部門 講演論文集,(1995-8), pp.95-96
- (34) H. Murata et al., "A Numerical Investigation of Flow in a Channel obstructed by an Array of Square Rods", Proc. of 3rd KSME-JSME Therm. Eng. Conf., (1996-10), I-31
- (35) H. Murata et al., "Flow Characteristics of Pulsating Flow obstructed by an Array of

- Square Rods", ASME Int. Mech. Eng. Conf. & Expo., (2000-11)
- (36)村田裕幸ほか2名,「脈動流中に挿入された角 柱列周りの流れ」、船研報告、36-6(2000-3)、 pp.247-258
- (37)村田裕幸ほか1名,「角柱列を挿入した平行平 板間流れの数値解析」,第 63 回船研講演 会,(1994-6),pp.53-58
- (38) 村田裕幸ほか2名,「角柱列を挿入した平行平 板間流れの数値解析(第2報)」,第65回船研講 演会, (1995-6), pp.119-122
- (39) 村田裕幸ほか2名、「角柱列を挿入した平行平 板間流れの熱水力特性」,第69回船研講演会, (1997-6), pp.13-18
- (40) S. V. Patankar, "Numerical Heat Transfer & Fluid Flow", McGraw-Hill, (1980), p.131
- (41) T. Hayase et al., "A Consistently Formulated QUICK Scheme for Fast and Stable Convergence using Finite-Volume Iterative Calculation Procedures", J. Comp. Phys, 98(1992), pp.108-118
- (42) H. Murata et al., "Experimental Investigation of Natural Convection in a Core of a Marine Rector in Rolling Motion", J. Nucl. Sci. Technol., 37-6 (2000-6), pp.509-517
- (43) H. Murata et al., "Natural Circulation Characteristics of a Marine Reactor in Rolling Motion and Heat Transfer in the Core", Nucl. Eng. Design, (to appear)
- (44) H. Murata et al., "Natural Circulation Characteristics of a Marine Reactor in Rolling Motion and Heat Transfer in the Core", Proc. Eurotherm Seminar No63, (1999-9), pp.341-350
- (45) 澤田健一ほか2名,「一体型舶用炉の横揺れ自 然循環における炉心部熱伝達特性」、船研報告、 36-2 (2000-1), pp.47-56
- (46) M. S. El-Genk et al., "Experimental Studies of Forced, Combined and Natural Convection of Water in Vertical Nine-Rod Bundles with a Square Lattice", Int. J. Heat Mass Transfer, 36 (1993), pp.2359 -2374
- (47) M. Keyhani et al., "Experimental Investigation of Free Convection in a Vertical Rod Bundle - A General Correlation for Nusselt Numbers", J. Heat Transfer, 107(1985), pp.611-623
- (48) S. Kim and M. S. El-Genk, "Heat Transfer Experiments for Low Flow of Water in Rod Bundles", Int. J. Heat Mass Transfer, 32(19)

- 89), pp.1321-1336
- (49) M. S. El-Genk *et al.*, "Forced and Combined Convection of Water in a Vertical Seven-Rod Bundle with P/D=1.38", *Int. J. Heat Mass Transfer*, 33(1990), *pp.* 1289-1297
- (50)入江正彦,「一体型舶用炉の概念設計」舶用機 関誌, 7-12 (1972), *pp*.877-882
- (51)藤井哲、「伝熱工学の進展 3」、養賢堂 (1974)、 p.8